BEITRÄGE ZUR GEOLOGIE DER SCHWEIZ GEOPHYSIK

Nr. 2

Herausgegeben mit Subvention der Eidgenossenschaft von der Schweizerischen Geotechnischen Kommission, Organ der Schweiz. Naturforschenden Gesellschaft

Eine großräumige Widerstandskartierung nordwestlich von Zürich und ihre geologische Deutung

von

Otto Friedenreich

KOMMISSIONSVERLAG:

Kümmerly & Frey AG, Geographischer Verlag, Bern 1959

Buchdruckerei Aschmann & Scheller AG., Zürich

Vorwort

der Schweizerischen Geotechnischen Kommission

An der Sitzung vom 29. November 1958 lag der Schweizerischen Geotechnischen Kommission ein

Manuskript von Herrn dipl. ing. petr. O. Friedenreich «Eine großräumige Widerstandskartierung

nordwestlich von Zürich und ihre geologische Deutung» vor, ausgeführt als Dissertationsarbeit am

Institut für Geophysik an der Eidgenössischen Technischen Hochschule unter Leitung von Prof. Dr.

F. Gassmann. Die Arbeit wurde von der Kommission für ihre Serie Geophysik angenommen.

Die Stiftung Hasler-Werke übernahm einen beträchtlichen Teil der Druckkosten, nachdem sie bereits

die ausgedehnten Meßarbeiten im Felde unterstützt hatte. Dafür möchte ihr auch die Kommission

den besten Dank aussprechen. Dem Autor sei für seinen interessanten Beitrag zur geophysikalischen

Landesuntersuchung und für seine Mitwirkung am Druck vielmals gedankt.

Für den Inhalt von Text und Figuren ist der Verfasser allein verantwortlich.

Zürich, April 1959

Für die Schweizerische Geotechnische Kommission

Der Präsident: Prof. F. de Quervain

Inhaltsverzeichnis

| Vorwor | rt | | | | | | | | | | | - | 6 |
|--------|--|-------|-------|-------|-----|------|-----|-------|-----|--|------|---|----|
| I. Al | llgemeines | | | | | | | | | | | | 7 |
| A. | Der wahre und der scheinbare spezifische Widerstand | | | | | | | | | | | | 7 |
| В. | Elektrodenanordnungen und gewählte Meßmethode | | | | | | | | | | | | 8 |
| C. | Geoelektrische Sondierprofile | | | | | | | | | | | | 9 |
| D. | . Widerstandskartierung | | | | | | | | | | | | 9 |
| II. Da | as Untersuchungsgebiet | | | | | | | | | | | - | 10 |
| A. | . Geographische Lage | | | | | | | | | | | | 10 |
| B. | Geologische Verhältnisse | | | | | | | | | | | | 10 |
| ПТ. Аг | nordnung und Durchführung der Messungen | | | | | | | | | | | | 12 |
| Α. | Problemstellung | | | | | | | | | | | | 12 |
| | Die Meßtechnik | | | | | | | | | | | | 12 |
| C. | Wahl der Stationspunkte | | | | | | | | | | | | 13 |
| | . Apparatives | | | | | | | | | | | | |
| E. | Gang der Feldarbeiten | | | | | | | | | | | - | 15 |
| IV. A | uswertung der Sondierprofile | | | | | | | | | | | | 16 |
| Α. | . Über den spezifischen Widerstand der Gesteine | | | , . | | | | | | | | | 16 |
| В. | Bestimmung der Schichtgrenzen und der spezifischen Wider | stär | ide | | | | | | | | | | 16 |
| | Geologische Deutung der Meßergebnisse | | | | | | | | | | | | |
| V. Di | tie auftretenden Boden- und Gesteinsarten. Ihre spezifischen W | ider: | ständ | le un | d M | ächt | igk | eiten | ı . | | | | 19 |
| A. | . Torf | | | | | | | | | | | | 19 |
| В. | Lehme (junge pelitische Ablagerungen) | | | | | | | | | | | | 21 |
| C. | Lehme mit Steinen (Grundmoräne) | | | | | | | | | | | | 21 |
| D. | . Mesozoische Tone | | | | | | | | | | | | 21 |
| E. | Mesozoische Mergel | | | | | | | | | | | | 22 |
| F. | Mergelreiche und sandsteinreiche Molasse | | | | | | | | | | | | 22 |
| | . Verkittete Schotter (Deckenschotter) | | | | | | | | | | | | |
| H. | . Unverkittete Schotter (Kiese) | | | | | | | | | | | | 23 |
| | Kalke | | | | | | | | | | | | _ |

| VI. Die Widerstandskarten | 25 |
|---|----|
| A. Bemerkungen über Sondiertiefe und scheinbaren spezifischen Widerstand in den Widerstandskarten | 25 |
| B. Einige Erläuterungen zu den Widerstandskarten | 29 |
| /II. Die geologischen Tiefenkarten | 31 |
| A. Erläuterungen zu den Tiefenkarten | 31 |
| B. Bemerkungen zu der Lägernantiklinale | 32 |
| C. Bemerkungen zum Liegenden des Ruckfeldes | 33 |
| Zusammenfassung | 34 |
| Abstract | 34 |
| Literaturverzeichnis | 35 |
| abellarische Zusammenstellung der Meßresultate | 38 |

Vorwort

Die vorliegende Arbeit befaßt sich mit einer großräumigen Widerstandskartierung nordwestlich von Zürich. Sie wurde vom Sommer 1955 bis Herbst 1958 unter der Leitung von Herrn Prof. Dr. F. Gaßmann am Institut für Geophysik der ETH ausgeführt.

Meinem verehrten Lehrer spreche ich hier meinen besonderen Dank aus für die zahlreichen Anregungen und Ratschläge, sowie für das große Interesse, das er dieser Arbeit immer entgegenbrachte. Herr Prof. Dr. F. Gaßmann hat durch ein Kreditgesuch an die Stiftung Haslerwerke Bern die erforderlichen finanziellen Hilfsmittel beschaffen können, welche die Ausführung dieser Arbeit erst ermöglichten. Der Stiftung Haslerwerke Bern danke ich an dieser Stelle besonders für die Gewährung des großzügigen Kredites und den großen Beitrag an die Druckkosten. Danken möchte ich auch Herrn Prof. E. Baumann, Leiter des wissenschaftlichen Kollegiums der Stiftung Haslerwerke Bern, der sich für das Zustandekommen der Arbeit sehr einsetzte.

Herrn Prof. Dr. F. de Quervain danke ich für die Übernahme des Korreferates, für seine zahlreichen petrographischen Ratschläge und für seine Besuche im Terrain.

Für erfolgreiche Diskussionen über die vorliegende Arbeit danke ich auch Herrn P.-D. Dr. M. Weber. Herzlich danke ich Herrn Dr. K. Vögtli für seine zahlreichen praktischen Ratschläge und für seine persönliche Anteilnahme an dieser Arbeit.

Herr R. Berger leistete mir große Dienste während der Feldarbeiten, ihm danke ich für seine unermüdliche Hilfsbereitschaft. Herrn W. Schneibel danke ich nicht nur für seinen tatkräftigen Einsatz bei den Feldmessungen, sondern vor allem für die exakte Ausführung der zahlreichen Zeichnungen. Den übrigen Mitgliedern der Feldequipe, vor allem den Herren G. Brühlmann, F. Frey und E. Zurflüh, danke ich für ihre wertvolle Hilfe. Dank gebührt allen meinen Studienkollegen und Freunden, mit denen mich die Erinnerung an eine schöne Studienzeit verbindet.

I. Allgemeines

A. Der wahre und der scheinbare spezifische Widerstand

Der spez. Widerstand ist eine Materialkonstante, die von der Form und der Art des Leiters unabhängig ist. Für die Bestimmung des spez. Widerstandes eines homogenen isotropen Materials kann man einen zylindrischen Stab der Länge I und der Querschnittfläche F verwenden. Legt man an die Endflächen des Stabes die Spannung V an, so fließt in ihm ein Strom I. Aus diesen ergibt sich der spez. Widerstand des Materials $\rho = \frac{V \, F}{I \, I}$. ρ hat die Dimension Widerstand × Länge. Seine Maßeinheit ist 1 Ω m (Ohmmeter) oder 1 Ω cm (= 0,01 Ω m). $\frac{1}{\rho}$ ist die elektrische Leitfähigkeit.

Zum Verständnis der Feldmessungen dienen die nachstehenden, allgemeinen Bemerkungen. Folgende zwei Fälle werden angenommen:

- 1. Der Untergrund ist homogen und isotrop und durch eine Ebene begrenzt (Halbraum).
- 2. Der Untergrund ist inhomogen und isotrop.

Fall 1: Der homogene und isotrope Halbraum: Von der Erdoberfläche aus wird mittels zweier Punktelektroden P_1 und P_1' ein stationärer Strom I in Richtung von P_1 nach P_1' durch den Untergrund geleitet. Das Potential des Feldes in einem beliebigen Punkt S ist

$$V(S) = \frac{I\rho}{2\pi r_{1}} - \frac{I\rho}{2\pi r_{1^{'}}} = \frac{I\rho}{2\pi} \left(\frac{1}{r_{1}} - \frac{1}{r_{1^{'}}}\right), \tag{1}$$

wobei r_1 und r_1' die Abstände von S nach P_1 bzw. P_1' bedeuten und ρ der spez. Widerstand des Materials ist. Die Potentialdifferenz zwischen zwei Punkten S_1 und S_1' ist demnach, falls s_1 und s_1' die Abstände des zweiten Feldpunktes sind,

$$V(S_1) - V(S_1') = \Delta = \frac{I \rho}{2\pi} \left(\frac{1}{r_1} - \frac{1}{r_1'} - \frac{1}{s_1} - \frac{1}{s_1'} \right)$$
 (2)

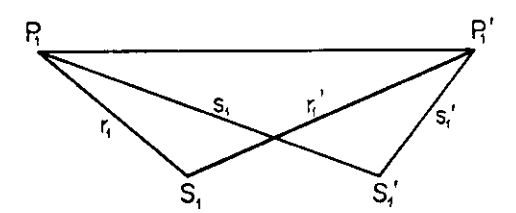


Fig. 1. 4-Punkt-Anordnung

Durch Auflösen nach ρ ergibt sich hieraus die für jede Meßanordnung für den spez. Widerstand des Untergrundes gültige Gleichung

$$\rho = \frac{2\pi\Delta}{I} \frac{1}{\frac{1}{r_1} - \frac{1}{r_1'} - \frac{1}{s_1} + \frac{1}{s_1'}}$$
(3)

Experimentell wird ρ so bestimmt, daß auch S_1 und S_1' an der Erdoberfläche sind. Die Werte von Δ , I, r_1 , r_1' , s_1 und s_1' sind an der Erdoberfläche meßbar, womit der spez. Widerstand bestimmbar ist.

Die in Fig. 1 dargestellte Meßanordnung wird üblicherweise 4-Punkt-Methode genannt. In der Folge sollen die Stromzuführungspunkte P_1 und P_1 als Primär-, S_1 und S_1 als Sekundärelektroden bezeichnet werden.

Fall 2: Der inhomogene und isotrope Halbraum: Für einen inhomogenen Untergrund ist die rechte Seite von (3) gleich einer Größe ρ_s, die von der Elektrodenanordnung und den spez. Widerständen der im Untergrund vorkommenden Gesteine abhängt und die man den scheinbaren spez. Widerstand nennt.

Der spez. Widerstand eines Gesteins kann auch direkt am Handstück bestimmt werden. Solche Messungen wurden für die vorliegende Arbeit nicht durchgeführt.

Wenn im weitern vom spez. Widerstand die Rede ist, so ist immer der wahre spez. Widerstand gemeint.

Die nachstehenden Abkürzungen werden in der Folge benützt:

spez. Wid. = spezifischer Widerstand

scheinb. spez. Wid. = scheinbarer spezifischer Widerstand

B. Elektrodenanordnungen und gewählte Meßmethode

Es ist nun möglich, die vier Elektroden so anzuordnen, daß die Gleichung (3) eine einfache Form erhält. Dadurch wird die Auswertung der Meßergebnisse besonders erleichtert.

In der Folge sollen hier die Wenner-, die Wenner-Lee- und die Schlumberger-Anordnung skizziert werden. Andere Anordnungen findet man in der Literatur (z. B. Tarass 1954) zusammengestellt.

Die Wenner-Anordnung: Die vier Elektroden P1, S1, S1' und P1' liegen im gleichen Abstand a,

Fig. 2. Die Wenner-Anordnung

der als Grundabstand bezeichnet wird, auf einer Geraden (Fig. 2). Für den scheinb. spez. Wid. eines Untergrundes ergibt sich somit die einfache Beziehung:

$$\rho_{\rm S} = \frac{2\pi\Delta}{1} \, a \tag{4}$$

Die Wenner-Lee-Anordnung: Lee hat 1939 eine Verbesserung der Wenner-Anordnung vorgeschlagen. Eine dritte Sekundärelektrode S_0 wird verwendet, welche in der Mitte zwischen S_1 und S_1' liegt. Hier mißt man die Potentialdifferenz Δ_L zwischen der linken Sekundärelektrode S_1 und der Mittelelektrode S_0 , und die Potentialdifferenz Δ_R der rechten Sekundärelektrode S_1' und der Mittelelektrode S_0 .

Es ist:
$$\rho_{s\, (links)} = \frac{4\pi \Delta_L}{I} \, a \, \, und \, \, \rho_{s\, (rechts)} \, = \, \frac{4\pi \Delta_R}{I} \, \, a \, .$$

Für einen horizontal geschichteten Untergrund gilt $\rho_{s(links)} = \rho_{s(rechts)} = \rho_{s}$. Ist diese Beziehung nicht erfüllt, so ist der Untergrund nicht horizontal geschichtet.

Die Schlumberger-Anordnung: Der Abstand 2c der Sekundärelektroden ist gegenüber dem Primär-

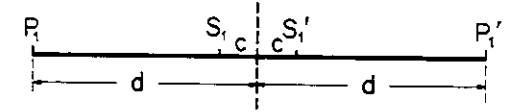


Fig. 3. Die Schlumberger-Anordnung

elektrodenabstand 2d sehr klein (Fig. 3). Für diese Anordnung erhält man für ρ_s gemäß (3):

$$\rho_{\rm s} = \frac{\pi\Delta}{2\,{\rm I}}\,\frac{d^2-c^2}{c} \tag{5}$$

Bei Messungen werden die Primärelektroden versetzt und die Sekundärelektrodenstellungen solange beibehalten, als Δ meßbar ist. Diese Anordnung erlaubt ein rascheres Messen als es die Wenner- oder die Wenner-Lee-Anordnung gestattet. Sie liefert hingegen keine Auskünfte über allfällige Schichtneigungen.

In der Praxis werden Messungen mit den erwähnten Anordnungen sehr häufig vorgenommen. Der Grund hierfür ist, daß die zur Auswertung notwendigen theoretischen Grundlagen zahlreich zur Verfügung stehen (vgl. Kap. IV). Für unsere Arbeit kam daher nur eine dieser Anordnungen in Frage. Bei der Wenner- oder Wenner-Lee-Methode sind die auftretenden Δ -Werte größer und leichter meßbar als beim Schlumberger-Verfahren. Dieser Umstand und die Möglichkeit einer qualitativen Aussage über Schichtneigungen, waren Gründe für die Wahl der Wenner-Lee-Anordnung. Weitere Gründe werden noch angeführt.

C. Geoelektrische Sondierprofile

Als Beispiel soll angenommen werden, daß man Messungen mit der Wenner-Anordnung durchführt. Nimmt man nun eine Messung bei kleinem Grundabstand (a = einige Meter) vor, so ist die Eindringtiefe des Stromes gering und das durch die Messung erfaßte Bodenvolumen klein. Eine Vergrößerung des Grundabstandes erhöht die Eindringtiefe und das den ρ_s -Wert bestimmende Materialvolumen. So werden bei geschichtetem Untergrund immer tiefere Schichten ρ_s beeinflussen. Wird der Mittelpunkt der Anordnung festgehalten und ρ_s als Funktion des Grundabstandes ermittelt, so liefert dies ein Sondierprofil. Die Auswertung dieses Sondierprofils gibt dann Aufschluß über die Abfolge der spez. Wid. nach der Tiefe zu, sowie über die Mächtigkeiten der erfaßten Schichten. Wie die Auswertung im einzelnen durchgeführt wird, zeigt Kapitel IV.

Natürlich können Sondierprofile mit allen Elektrodenanordnungen gemessen werden.

D. Widerstandskartierung

In vielen Fällen der Prospektion ist es nicht unbedingt nötig, die Abfolge der spez. Wid. nach der Tiefe hin zu kennen. Man ist vielmehr an ihrer horizontalen Verteilung interessiert. Wie im allgemeinen in diesem Fall vorgegangen wird, soll anhand der Wenner-Anordnung erklärt werden. Für einen festgehaltenen Grundabstand a, also mit einer ungefähr konstanten Sondiertiefe, wird der scheinb. spez. Wid. in Punkten, die angenähert gleichmäßig über das Untersuchungsgebiet verteilt sind, bestimmt. Mit diesem flächenhaften Vorgehen, in dem ein Terrainpaket von ungefähr gleichmäßiger Mächtigkeit erfaßt wird, ergibt sich nun eine Widerstandskarte, indem man in jedem Punkt den entsprechenden gemessenen ρ₈-Wert einträgt. Aus dieser Karte ist dann unmittelbar der horizontale Verlauf von ρ₈ in diesem Paket ersichtlich. Die allgemeine geologische Bedeutung von Widerstandskarten liegt in erster Linie darin, daß sie Aufschluß geben über die Lage von Gesteinsgrenzen, welche durch horizontal überlagerte Boden- und Gesteinsschichten verdeckt sind. Für kleinere Sondiertiefen kann eine Widerstandskarte als Analogon zu einer geologischen Karte angesehen werden. Die geologischen Formationen sind hier durch ihre Widerstände gekennzeichnet. Oft wird es von Interesse sein, für ein bestimmtes

Untersuchungsgebiet Karten für verschiedene Sondiertiefen zu erstellen. Oberflächennahe Gesteinsformationen werden schon bei geringer Sondiertiefe (kleinere Grundabstände) in Erscheinung treten, während tieferliegende Strukturen sich erst bei größeren Sondiertiefen (größeren Grundabständen) abzeichnen. Die richtige Wahl des Grundabstandes ist für das Resultat der Kartierung ausschlaggebend. Interessiert eine oberflächennahe Struktur, so kann man mit einem kleinen Grundabstand arbeiten und hat dabei ein relativ großes Auflösungsvermögen. Interessiert anderseits eine tieferliegende Struktur, so ist man genötigt, mit größeren Grundabständen zu arbeiten, wobei dann auch das Auflösungsvermögen (Erkennen von Einzelheiten bzw. Schichtgrenzen) entsprechend abnimmt.

Zwischen Sondiertiefe und Meßanordnung besteht kein eindeutiger Zusammenhang. Als empirische Regel gilt, daß die Sondiertiefe für die Wenner-Anordnung angenähert gleich dem Grundabstand a, beim Schlumberger-Verfahren ungefähr gleich einem Viertel der Primärelektrodendistanz ist. In Wirklichkeit wird die Sondiertiefe maßgebend durch das Widerstandsverhältnis und die Mächtigkeiten der erfaßten Schichten beeinflußt (vgl. Kap. VI, Abschn. A).

Widerstandskartierungen können grundsätzlich mit jeder Elektrodenanordnung durchgeführt werden.

II. Das Untersuchungsgebiet

A. Geographische Lage

Das Gebiet (siehe Übersichtskarte Fig. 4) liegt innerhalb der Koordinaten (Projektionssystem der schweizerischen Landesvermessung, winkeltreue schiefachsige Zylinderprojektion) 655000—688000 und 250000—274000 und wird wie folgt begrenzt: Kloten — Embrach — Tößegg — Rhein — Koblenz — Aare — Wildegg — Niederlenz — Mellingen — Stetten — Schlieren — Höngg — Seebach — Kloten. Die nachstehenden Blätter der Landeskarte der Schweiz dienen als Kartenunterlage:

1:25000: 1050 Zurzach, 1051 Eglisau, 1070 Baden, 1071 Bülach, 1090 Wohlen AG, 1091 Zürich;

1:50000: 215 Baden, 225 Zürich.

B. Geologische Verhältnisse

In der Übersichtskarte Fig. 4 sind die geologischen Einheiten, Tafeljura, Faltenjura und mittelländische Molasse, des Untersuchungsgebietes eingetragen. Der Tafeljura (die hauptsächlichsten Gesteine sind Kalke, Kalkmergel, Mergel und Tone) nimmt den Raum nördlich der Lägern ein. Seine Gesteinsschichten sind flach gelagert und fallen leicht gegen SE ein. Zum Faltenjura (Gesteine siehe Tafeljura) gehören die Lägern und der Kestenberg. Diese beiden höchsten Erhebungen unseres Gebietes sind die östlichen Ausläufer des Faltenjuragebirges. Den Hauptteil am Aufbau des Gebietes haben die Molasseformationen (wenig verfestigte Sandsteine, Mergelsandsteine, Mergel) des Mittellandes. Die quartären Ablagerungen (verfestigte und unverfestigte Kiese und Sande, Moränen und Lehme verschiedener Entstehung) sind sehr verbreitet.

Im übrigen sei auf das Literaturverzeichnis und die angeführten geologischen Karten verwiesen.

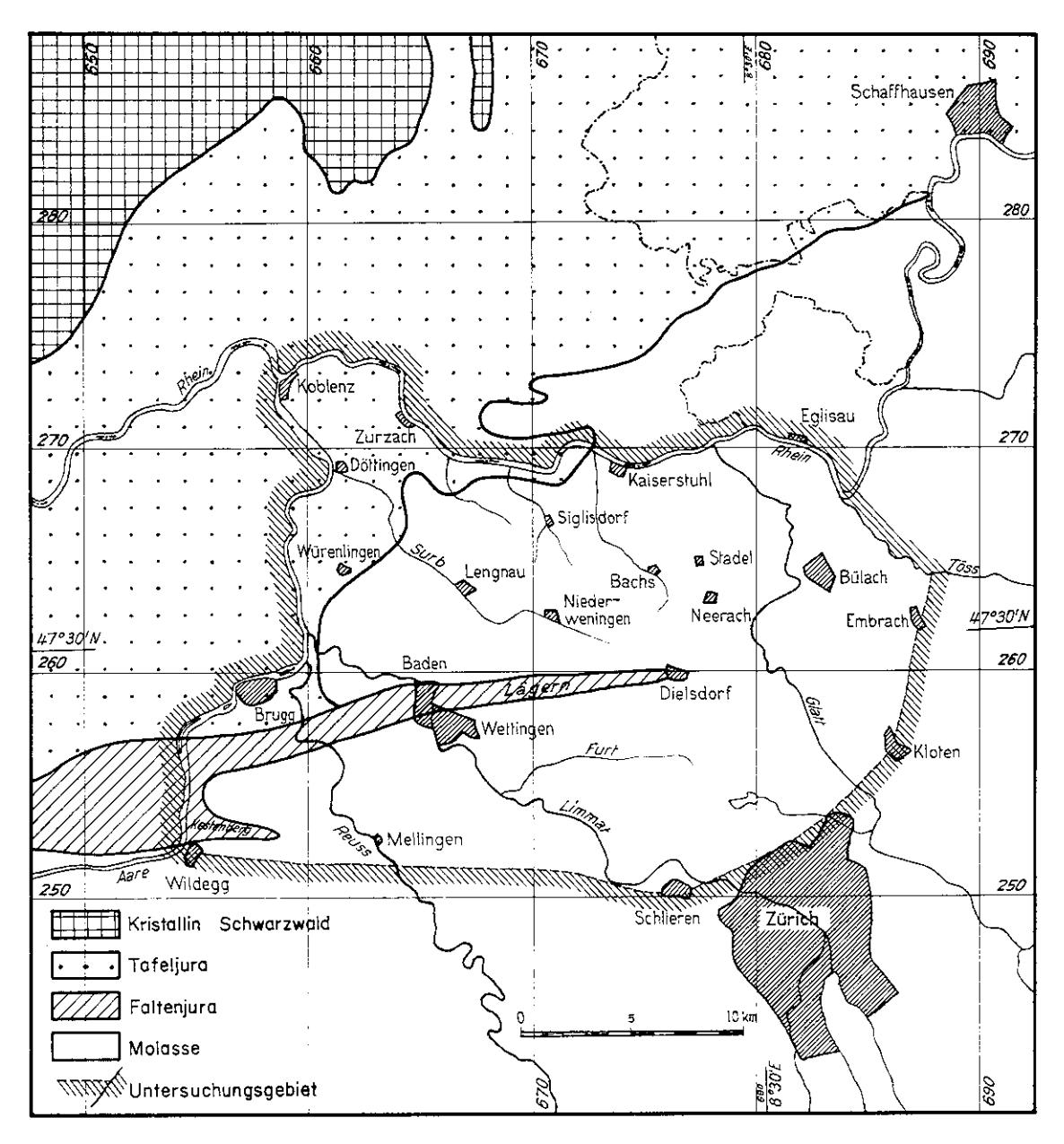


Fig. 4. Geographisch-geologische Übersichtskarte 1:300000

III. Anordnung und Durchführung der Messungen

A. Problemstellung

In einem größeren und geoelektrisch noch unerforschten Gebiet soll der spez. Wid. des Untergrundes untersucht und in Widerstandskarten dargestellt werden. Diese Karten liefern einen Überblick über die Verteilung der Widerstände und somit über die Ausdehnung der geologischen Einheiten. Überdies zeichnen sich geologisch und geophysikalisch interessante Gebiete ab, welche später im Detail untersucht werden können.

Bei der Wenner-Lee-Methode wird im allgemeinen im Vergleich zur Schlumberger-Methode ein größeres Bodenvolumen erfaßt, so daß mit Rücksicht auf die Weitmaschigkeit des Stationsnetzes die Wenner-Lee-Methode gewählt wurde.

Dabei müssen folgende Punkte berücksichtigt werden:

- 1. Angesichts der großen Ausdehnung des Gebietes (ca. 525 km²) muß ein weitmaschiges Stationsnetz angelegt werden.
- 2. Die Meßpunkte sollen angenähert gleichmäßig über das Gebiet verteilt sein.
- 3. Es muß für die Wenner-Lee-Methode eine Meßtechnik gefunden werden, die ein rationelles Arbeiten gewährleistet und gleichzeitig gestattet, Sondierprofile aufzunehmen.

Punkte 1 und 2: Bei einer Widerstandskartierung ist die Meßpunktdichte in erster Linie von der Größe des Untersuchungsgebietes, der technischen Ausrüstung und den wirtschaftlichen Hilfsmitteln abhängig.

Punkt 3: Er wird in Abschnitt B dieses Kapitels besprochen.

B. Die Meßtechnik

Auf jeder Station wird ein Sondierprofil mit den Grundabständen 4 m, 12 m, 36 m, 108 m und 324 m gemessen. Die erhaltenen ps-Werte dienen einerseits zur Herstellung von fünf Widerstandskarten und anderseits zur Aufnahme eines Sondierprofils.

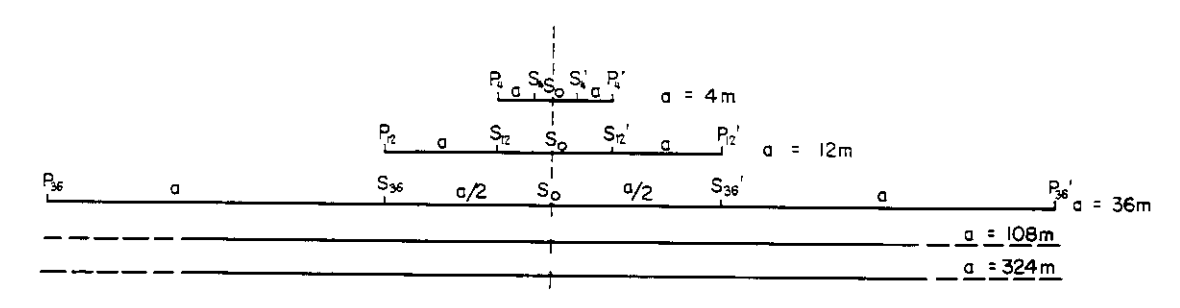


Fig. 5. Die Elektrodenanordnung

In Fig. 5 ist S_0 die Mittelelektrode von Lee. Sie bleibt immer fest und ist Bezugspunkt der Messungen. Die Indices der verschiedenen P, P', S und S' geben jeweils den Grundabstand der Auslage an. Aus der Figur ist ersichtlich, daß links von S_0 die Punkte P_4 und S_{12} je den gleichen Abstand von 6 m von der Profilmitte S_0 haben. Ferner haben P_{12} und S_{36} je den Abstand von 18 m von S_0 . P_{36} und S_{108} sind je

54 m und schließlich P_{108} und S_{324} je 162 m von S_0 entfernt. Das gleiche gilt aus Symmetriegründen auch für die rechte Seite. Von der Meßapparatur aus, die sich in der Nähe von S_0 befindet, werden auf beide Seiten je sechs Verbindungsleitungen zu den entsprechenden Elektrodenstellungen verlegt.

```
Erste Leitung nach S_4 bzw. S_4' (in 2 m Entfernung von S_0)

Zweite Leitung nach P_4—S_{12} bzw. P_4'—S_{12}' (in 6 m Entfernung von S_0)

Dritte Leitung nach P_{12}—S_{36} bzw. P_{12}'—S_{36}' (in 18 m Entfernung von S_0)

Vierte Leitung nach P_{36}—S_{108} bzw. P_{36}'—S_{108}' (in 54 m Entfernung von S_0)

Fünfte Leitung nach P_{108}—S_{324} bzw. P_{108}'—S_{324}' (in 162 m Entfernung von S_0)

Sechste Leitung nach P_{324} bzw. P_{324}' (in 486 m Entfernung von S_0)
```

Die zwölf Leitungen werden auf einen Sammelkasten geführt, von wo aus die fünf Grundabstände gewählt werden können. Durch diese Anordnung schaltet man die sehr zeitraubenden Versetzungsarbeiten der Elektroden aus. Zu Beginn einer Messung werden vorerst alle Kabel nach den obenstehenden Distanzen ausgelegt und an den Stellen 2 m, 6 m, 18 m, 54 m und 162 m unpolarisierbare Elektroden angeschlossen. Diese Elektroden sind im Abschnitt «Apparatives» beschrieben. In 486 m dienen als Elektroden drei Eisenspieße. Die Messungen erfolgen nun von außen nach innen, d. h. man beginnt mit dem größten Grundabstand (a = 324 m). Hierauf wird auf dem Schaltkasten der Grundabstand 108 m eingestellt usw. Es wird immer in dieser Reihenfolge gemessen. Den Grund hierfür bilden die unpolarisierbaren Sekundärelektroden, die vorerst der Potentialdifferenzbestimmung dienen, bevor sie für den nächstkleineren Grundabstand als Primärelektroden verwendet werden. Eine Umkehrung des Meßvorgangs würde die Messung stark beeinträchtigen.

Mit diesen Bemerkungen über die Meßanordnung erklärt sich auch die Wahl der Elektrodendistanzen bzw. der Grundabstände. Wenn nicht mit einem kleineren Grundabstand als 4 m begonnen wurde, so nur deshalb, weil der Einfluß ganz lokaler Inhomogenitäten im ersten Schichtpaket bedeutungslos ist.

Die Grundabstände sind überdies so gewählt, daß die im doppellogarithmischen Maßstab aufgetragenen Widerstandswerte die Widerstandskurve gleichmäßig belegen. Elektrodenanordnungen dieser Art sind für Untersuchungen von vorwiegend orientierender Natur zu empfehlen. Für spezielle Probleme sind diesen angepaßte Grundabstände zu wählen.

C. Wahl der Stationspunkte

Alle Elektroden einer Wenner-Auslage müssen auf einer Geraden liegen. Diese Voraussetzung war wegweisend für die Auswahl der Stationspunkte. Anhand topographischer Karten (Landeskarte der Schweiz 1:25000) wurden geeignete Stellen gesucht und provisorisch als Meßpunkte bezeichnet. Die endgültige Lage wurde aber erst im Feld unter Berücksichtigung der örtlichen Gegebenheiten (kupiertes Gelände, kleinere Hügel, Überbauungen) und unter Wahrung eines möglichst gleichmäßigen Stationsnetzes festgelegt.

D. Apparatives

Die Gleichung für den scheinb. spez. Wid. ρ_8 lautet für die Wenner-Anordnung: $\rho_8 = \frac{2\pi\Delta}{I}$ a . Aus dieser Beziehung ist ersichtlich, daß ein geoelektrisches Meßgerät der Messung des Primärstromes I und der Potentialdifferenz Δ dienen soll.

Die Fig. 6 zeigt eine schematische Darstellung der Meßanordnung. Die Meßapparatur ist durch eine gestrichelte Linie umrandet. Eine Spannungsquelle U_p erzeugt den Primärstrom, der durch die Primärelektroden P, P' und den Boden fließt. Seine Stärke I liegt im allgemeinen zwischen einigen

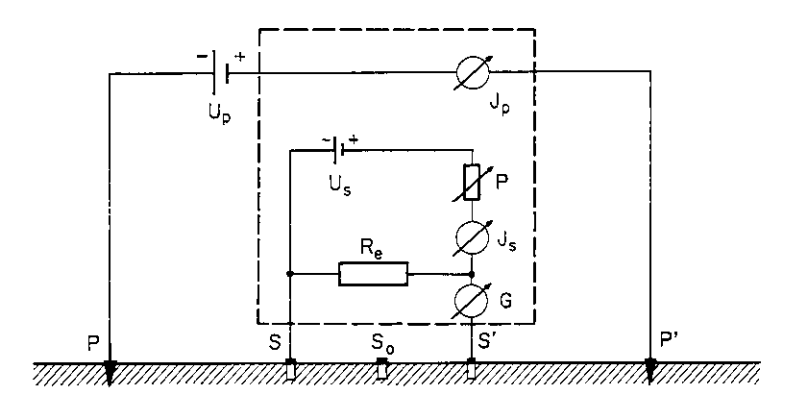


Fig. 6. Schematische Darstellung der Meßanordnung

Milliampère und einem Ampère und wird mit einem Milliampèremeter J_p gemessen, das mehrfach geshuntet werden kann (mehrere Meßbereiche).

Die Δ -Messung beruht auf der Kompensationsmethode. Die unbekannte Potentialdifferenz Δ wird mit Hilfe eines Galvanometers G mit einer bekannten Potentialdifferenz Δ_k verglichen. Die Spannungen Δ und Δ_k sind dann gleich groß, wenn das Galvanometer stromlos ist. Die Kompensationsspannung wird erzeugt, indem man einen durch ein Potentiometer P regulierbaren Strom i (Spannungsquelle U_s) durch einen bekannten Widerstand R_e fließen läßt. Mit drei verschiedenen Widerständen R_e kann Δ_k in drei Bereichen zwischen 0,5 mV bis 1000 mV variiert werden.

In der Formel für ρ_s wird somit Δ durch i R_e ersetzt.

Als Zusätze sind in der Meßapparatur noch ein Kompensator und ein Hochpaßfilter eingebaut. Der Kompensator wird zur Elimination konstanter oder kurzfristig konstanter Störströme im Untergrund benützt. Messungen in der Nähe von Bahnen sind oft durch vagabundierende Wechselströme stark gestört. Durch Einschalten des Hochpaßfilters können diese Störungen weitgehend eliminiert werden.

Zur Vermeidung von Kriechströmen in der Apparatur ist ein Behälter mit Trocknungsmittel (Silikagel) eingebaut.

Als Spannungsquelle U_p des Primärstromes dienten vier Anodenbatterien mit einer Gesamtspannung von 240 V. Im Sekundärkreis ist die Spannungsquelle eine 3-V-Stabbatterie.

Diese Apparatur wurde von M. Weber entwickelt (Gassmann und Weber 1956).

Die Kabel: Fig. 7 zeigt die Kabelanordnung für eine Hälfte der Auslage.

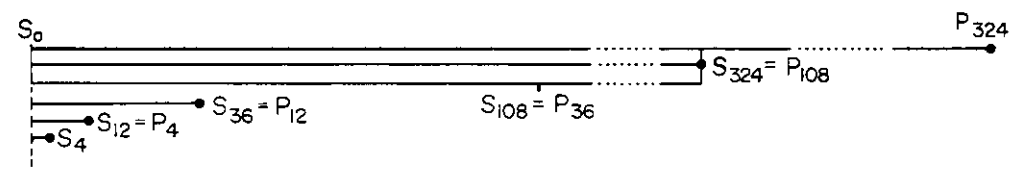


Fig. 7. Kabelanordnung für eine Seite der Auslage

Für die kurzen Distanzen 2 m (Stellung S_4), 6 m (Stellung $S_{12} = P_4$) und 18 m (Stellung $S_{36} = P_{12}$) (vgl. Abschnitt B, Seite 12 und Fig. 5) wurden einadrige Kabel verwendet. Ein dreiadriges Kabel wurde

von S_0 bis 162 m (Stellung $S_{324} = P_{108}$) ausgelegt mit einer Ausführung bei 54 m (Stellung $S_{108} = P_{36}$). Von 162 m bis 486 m wurde ein einadriges Kabel verwendet. Es wurden nur Kabel mit hoher Isolationsgüte eingesetzt.

Um sich zeitraubende Distanzabmessungen zu ersparen, waren alle Kabel mit entsprechenden Distanzmarken versehen.

In den Punkten P_{324} und P_{324} (Stellungen der Primärelektroden für a=324 m) wurden jeweils drei Eisenspieße (40 cm lang, 5 cm breit und 1 cm dick) als Stromzuführungen verwendet. Sie wurden in den Ecken eines gleichseitigen Dreiecks (Seitenlänge ca. 50 cm), dessen Schwerpunkt den Bezugspunkt bildete, in den Boden getrieben.

An allen anderen Stellungen befanden sich unpolarisierbare Elektroden. Sie sind folgendermaßen aufgebaut: In einer porösen Tonzelle von 10 cm Höhe und 5 cm Durchmesser befindet sich eine konzentrierte Kupfersulfat-Lösung, in die ein Kupferstab eingetaucht ist. Der Stab wird durch die Bohrung eines Gummizapfens, welcher die Tonzelle abschließt, gehalten. Für die Messungen wurden kleine Löcher in den Boden gemacht und die unpolarisierbaren Elektroden in sie gestellt. Die durch die Tonwände der Elektroden diffundierenden Ionen der Kupfersulfat-Lösung stellen den Kontakt zwischen dem Kupferstab und dem Boden her. Aus dem Boden diffundiert zugleich Feuchtigkeit in die Elektroden. Die dadurch bedingte Konzentrationsverminderung wird durch stetes Auflösen von CuSO₄-Kristallen wettgemacht, womit die Lösung immer gesättigt bleibt. In praxi zeigen die unpolarisierbaren Elektroden immer noch eine gewisse Polarisation, die sich aus dem Umstand erklärt, daß sich die CuSO₄-Kristalle nicht genügend rasch lösen, um die Lösung gesättigt zu halten. Daher wurde jede Messung zweimal durchgeführt, wobei die Stromrichtung geändert wurde. Die erhaltenen Werte wurden gemittelt, wodurch die Polarisationsspannungen eliminiert wurden, soweit sie während der Messungen konstant blieben.

E. Gang der Feldarbeiten

Die Messungen wurden in den Jahren 1955 und 1956 durchgeführt und konnten mit Rücksicht auf die Landwirtschaft jeweilen nur in den Herbstmonaten vorgenommen werden. In 70 Feldtagen wurden teils bei schönem, trockenem, teils jedoch auch bei regnerischem Wetter mit einer Equipe von vier Mann auf 417 Stationen gemessen, was einem Tagespensum von sechs Stationen entspricht. Die Arbeiten auf einer Station benötigten, je nach den Geländeverhältnissen, dreiviertel bis eine Stunde. Zur Über-



Fig. 8. Das Auslegen der Meßanordnung

prüfung der Reproduzierbarkeit wurden im Frühling und im Herbst 1957 Nachmessungen durchgeführt. Im Rahmen unserer Meßgenauigkeit ergaben sich keine in Betracht fallenden Änderungen.

Ein VW-Omnibus diente als Transportwagen für Material und Mannschaft (Fig. 8). Der Wagen wurde vom Eidg. Militärdepartement zur unbeschränkten Verwendung zur Verfügung gestellt.

IV. Auswertung der Sondierprofile

A. Über den spezifischen Widerstand der Gesteine

Die elektrische Leitfähigkeit bzw. der spez. Wid. eines geologischen Körpers wird bestimmt durch die elektrische Leitfähigkeit der am Aufbau des Gesteinskörpers beteiligten Mineralien und der elektrischen Leitfähigkeit der in den Porenräumen des Gesteins vorhandenen Flüssigkeiten. Die meisten Mineralien sind praktisch Isolatoren. Nur eine kleine Anzahl oxydischer und sulfidischer Mineralien sind gute elektrische Leiter (z. B. Magnetit, Pyrit). Die elektrische Leitfähigkeit, welche trotzdem in den meisten Boden- und Gesteinsarten vorhanden ist, geht daher nicht auf ihren Mineralgehalt zurück, sondern auf das in Poren, Spalten und Rissen sich befindende Wasser mit seinem wechselnden Elektrolytgehalt. So kann der spez. Wid. eines petrographisch einheitlichen Gesteins um einige Zehnerpotenzen je nach dem Gehalt an Feuchtigkeit verschieden sein. Demzufolge sollten die in der Literatur tabellierten spez. Wid. im allgemeinen nicht zur Diagnose von Boden- und Gesteinsarten verwendet werden.

Obschon der spez. Wid. im Felde verschiedentlich direkt am Gestein (Kiesgruben, Molassefelswände, Kalksteinbrüche u. a. m.) bestimmt wurde, konnten die ermittelten Werte erfahrungsgemäß und wie sich mehrfach bestätigt hat, für die Auswertung nicht verwendet werden. Der Grund liegt vorwiegend in der unterschiedlichen Durchfeuchtung des Materials.

B. Bestimmung der Schichtgrenzen und der spezifischen Widerstände

Wie in Kap. I (Seite 9) erwähnt, kam nur eine Meßanordnung in Frage, für die zur Auswertung der Meßwerte theoretische Kurvenbeispiele in genügender Anzahl zur Verfügung stehen. Für die Wenner-Anordnung wurde wohl die vollständigste Sammlung von rund 2300 Kurven zur Auswertung von 2-, 3- und 4-Schichten-Fällen von H. M. Mooney und W. W. Wetzel (1956) veröffentlicht.

Für die Auswertung von Sondierprofilen wird angenommen, daß die Oberfläche eben ist und der Untergrund aus planparallelen isotropen und homogenen Schichten besteht. In der Praxis werden geringe Schichtneigungen ($< 10^{\circ}$) außer Betracht gelassen. Wenn ein 2-Schichten-Fall vorliegt, liefert die Auswertung zwei spez. Wid. und eine Mächtigkeit, nämlich für die erste Schicht deren spez. Wid. ρ_1 und Mächtigkeit h und den spez. Wid. ρ_2 der zweiten Schicht. In einem 3-Schichten-Fall erhält man ρ_1 und ρ_1 der ersten Schicht, ρ_2 und ρ_2 der zweiten Schicht und ρ_3 der dritten Schicht. Im n-Schichten-Fall liefert somit die Auswertung n ρ -Werte für n-Schichten und n-1 h-Werte für n-I-Schichten.

Die aus den Messungen gewonnenen ps-Werte werden in Funktion des Grundabstandes a (= ein Drittel der Primärelektrodendistanz) auf doppellogarithmisches Papier aufgetragen. Die so erhaltene Kurve vergleicht man mit theoretischen Kurven, bis sie mit einer zur Deckung gebracht werden kann oder bis sie in den Raum zwischen zwei benachbarte Kurven hineinpaßt. Die gesuchten spez. Wid. der einzelnen Schichten und deren Mächtigkeiten können dann leicht ermittelt werden. Wie dies im einzelnen geschieht, wird an einem Beispiel (Fig. 9) gezeigt.

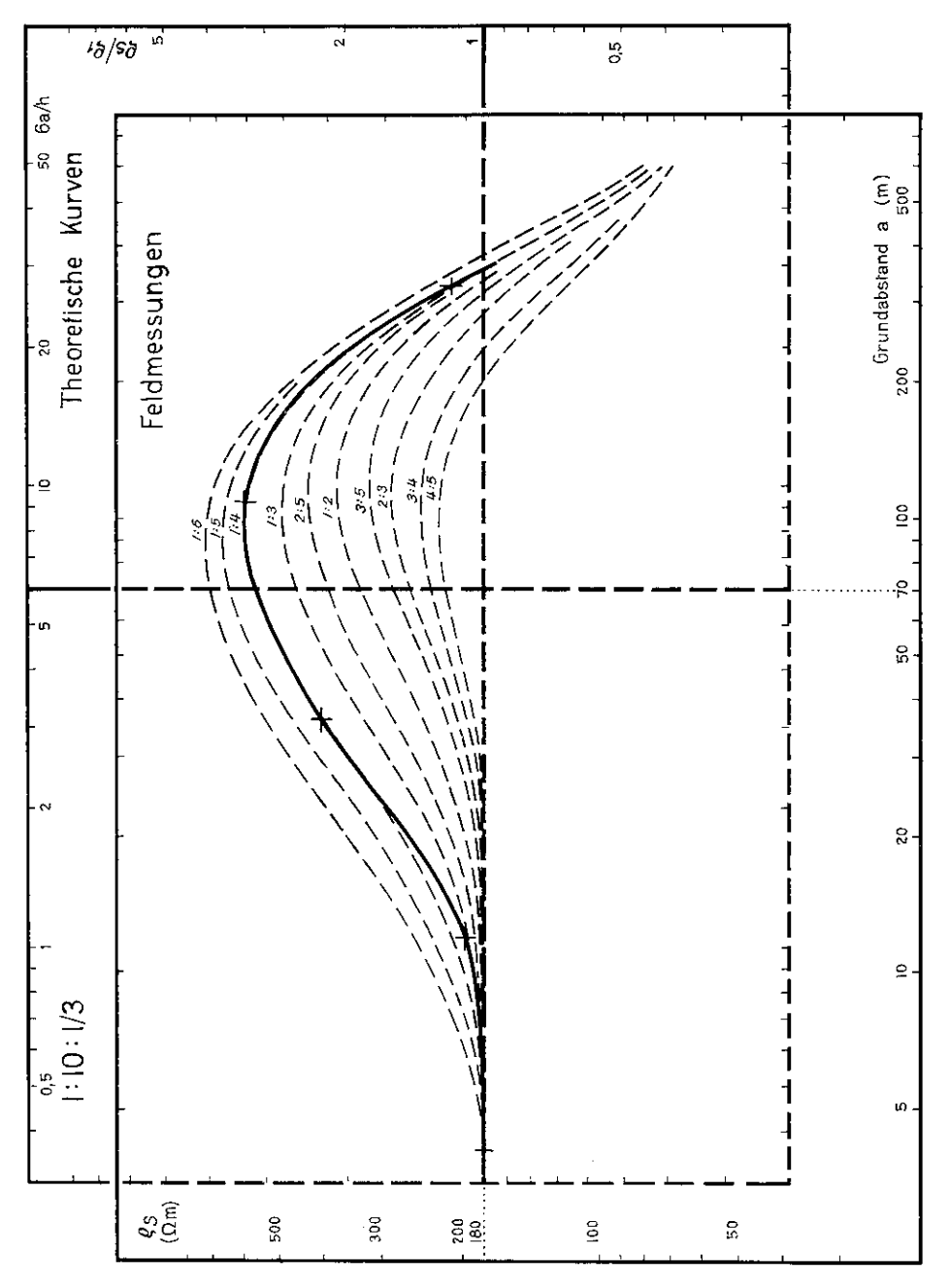


Fig. 9. Beispiel für die Auswertung eines Sondierprofils durch Vergleich mit theoretischen Kurven

Der Verlauf der auf doppellogarithmisches Papier aufgetragenen Meßwerte läßt erkennen, ob man es mit einem 2-, 3- oder Mehr-Schichten-Fall zu tun hat. Ferner kann mit einiger Übung aus dem Kurvenverlauf auf das Widerstandsverhältnis der einzelnen Schichten geschlossen werden, was zeitraubendes Suchen nach den geeigneten theoretischen Kurven erspart.

Fig. 9 stellt die Auswertungen eines 3-Schichten-Falles dar. Sie zeigt auf einem Blatt die theoretischen Kurven für das Widerstandsverhältnis $1:10:1_3=\rho_1:\rho_2:\rho_3$ und das mit diesem zur Deckung gebrachte Blatt der Feldmessungen (Sondierprofil). Im theoretischen Kurvenblatt sind eingetragen: Als Ordinate das Verhältnis ρ_s/ρ_1 , als Abszisse das Verhältnis 6a/h (a = Grundabstand, h = $h_1 + h_2$), ferner zehn Kurven für verschiedene Werte des Mächtigkeitsverhältnisses $h_1:h$. Die Ermittlung der gesuchten Werte ρ_1 , ρ_2 , ρ_3 , h_1 und h_2 geschieht nun folgendermaßen: $\rho_s/\rho_1 = 1$ der Unterlage deckt sich mit der Ordinate $\rho_s = 180~\Omega$ m des Deckblattes. Daraus folgt $\rho_1 = 180~\Omega$ m und somit $\rho_2 = 1800~\Omega$ m und $\rho_3 = 60~\Omega$ m. 6a/h = 6 der Unterlage deckt sich mit der Abszisse 70 m des Deckblattes. Daraus folgt, daß $h_1 + h_2 = 70$ m ist. Der Parameter 1:4 der theoretischen Kurve gibt das Verhältnis $h_1: (h_1 + h_2)$ an. Somit ergibt sich für $h_1 = 17$ m und $h_2 = 53$ m. In Kapitel I wurde erwähnt, daß mit einer Wenner-Lee-Anordnung qualitative Aussagen über Schichtneigungen gemacht werden können. In unserer Arbeit kommt diesen Aussagen wegen der Weitmaschigkeit des Stationsnetzes keine sehr große Bedeutung zu. Für detaillierte Untersuchungen mit einem engmaschigen Stationsnetz können sie jedoch sehr wertvoll sein.

In der Auswertung von Sondierprofilen kommt es vor, daß die gemessene Kurve in keine der theoretischen Kurvenscharen hineinpaßt. Der Grund hierfür ist, daß es nie genügend theoretische Kurven geben wird, die alle möglichen Fälle der Praxis erfassen.

Der relative Fehler der ermittelten Werte für die spez. Wid. der Schichten und ihrer Mächtigkeiten übersteigt nicht 20%.

Der nächste Schritt der Auswertung ist die Deutung der gewonnenen Widerstandswerte.

C. Geologische Deutung der Meßergebnisse

Die heikelste Aufgabe des gesamten Auswertungsprozesses ist die geologische Deutung der Meßergebnisse, die darin besteht, die gewonnenen physikalischen Daten in die geologische Sprache zu übersetzen. Zu diesem Zweck ist es in erster Linie notwendig, sich über den geologischen Aufbau des Gebietes durch Einsicht geologischer Karten und Untersuchungen zu informieren. Im weiteren werden die Resultate allfälliger, im Gebiet ausgeführter Bohrungen herangezogen und für die Interpretation verwendet. Ferner müssen auch alle geophysikalischen Aufschlüsse, die das Untersuchungsgebiet betreffen, durchgesehen und deren Ergebnisse mit den eigenen verglichen werden.

Für die vorliegende Arbeit wurden etwa 80 Bohrprofile (meist Grundwasserbohrungen) bei folgenden Stellen durchgesehen: Schweiz. Geotechnische Kommission; Wasserbau- und Wasserrechtsabteilung des Kantons Zürich, Wasserbau- und Wasserwirtschaftsamt des Kantons Aargau und verschiedene Tiefbaufirmen. In den vergangenen Jahren hat das Institut für Geophysik der Eidg. Techn. Hochschule verschiedentlich in unserem Gebiet seismische Refraktionsmessungen durchgeführt. Die hierbei erzielten Resultate wurden mit den Widerstandsmessungen verglichen und auch für die geologische Deutung herangezogen. Die vom Gebiet existierende Schwerekarte (Gretener 1954) konnte nur in großen Zügen unseren verschiedenen Karten gegenübergestellt werden; für die Interpretation der spez. Wid. konnte sie naturgemäß nicht verwendet werden. Die Arbeit von Tarass — sie betrifft geoelektrische Widerstandsmessungen am Stadlerberg — ermöglichte wertvolle Vergleiche.

Trotz aller zur geologischen Deutung der Widerstandswerte beigezogenen Hilfsmittel erschwerte ein Umstand diese Aufgabe sehr, nämlich die Tatsache, daß die spez. Wid. petrographisch ganz verschiedener Materialien gleich sein können. Wir denken hier z.B. an die Gleichheit der spez. Wid. von Grundmoräne und mergelreicher Molasse. (Vgl. hierzu Tabelle der spez. Wid. der angetroffenen Boden- und Gesteinsarten.)

Ferner ergab sich bei der Ermittlung der spez. Wid. und der Mächtigkeiten der Schichten des öftern, daß aus dem Verlauf einer gemessenen Widerstandskurve nicht ohne weiteres gesagt werden konnte, ob nun ein 3-Schichten- oder ein 4-Schichten-Fall vorliegt (z. B. die Widerstandsverhältnisse 1:10:1 und 1:10:3:1). Die Wahl dieser oder jener theoretischen Kurve wurde durch das nach der geologischen Hypothese vermutete Schichtprofil bestimmt.

V. Die auftretenden Boden- und Gesteinsarten. Ihre spezifischen Widerstände und Mächtigkeiten

Im vorangehenden Kapitel wurde dargelegt, wie aus den Sondierprofilen die spez. Wid. der einzelnen Schichten gewonnen und gedeutet werden. Für jedes Material wurde nun ein Häufigkeitsdiagramm gezeichnet (siehe Tabelle). Diese Diagramme veranschaulichen, innerhalb welcher Grenzen sich die spez. Wid. der angetroffenen Materialien bewegen und welches die häufigsten Werte sind. Als Abszisse ist der spez. Wid. in Ohmmeter, und als Ordinate die Häufigkeit aufgetragen.

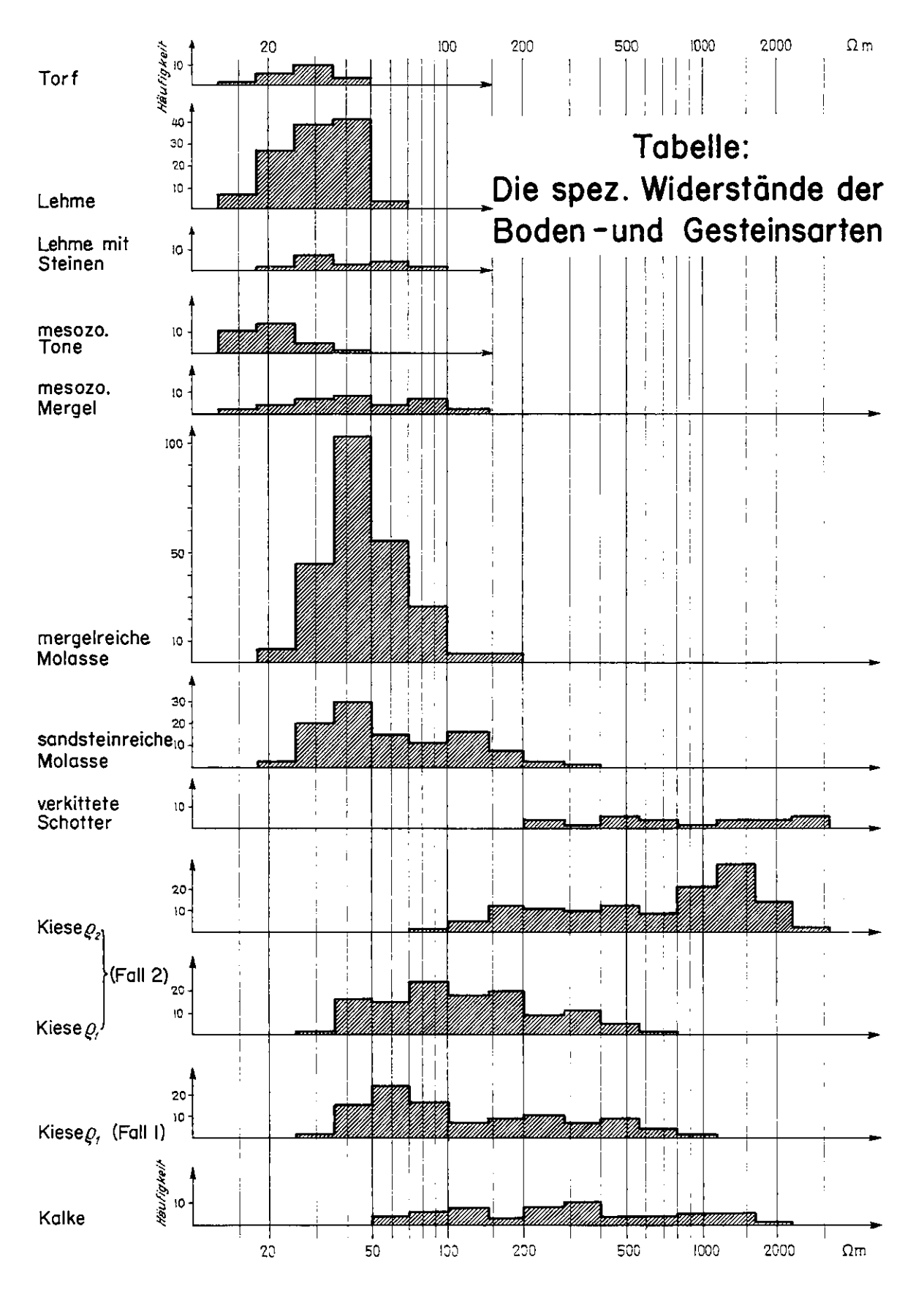
Im folgenden werden für jede Boden- und Gesteinsart angegeben, wo sie vorgefunden wurde, innerhalb welcher Werte ihre spez. Wid. liegen, welcher ihr häufigster spez. Wid. ist und welche Schichtmächtigkeiten (kleinste und größte) angetroffen wurden. Den Angaben über die Schichtmächtigkeiten kommt hier nur die Bedeutung einer Größenordnung zu. Denn wegen der weitmaschigen Anordnung der Meßpunkte (im Mittel ein Meßpunkt pro 1,2 km²) ist es sehr gut möglich, daß in verschiedenen Teilen des Untersuchungsgebietes die größte bzw. die kleinste Mächtigkeit einer hangenden Schicht nicht erfaßt wurde. Ferner sei nochmals erwähnt, daß Angaben über die Mächtigkeit einer Schicht im Liegenden eines Sondierprofils nicht gemacht werden können.

Die im Gebiet getroffenen Gesteinsschichten wurden nach wesentlichen petrographischen Merkmalen in zehn Gruppen gegliedert, die mit folgenden Stichworten versehen wurden:

Torf, Lehme, Lehm mit Steinen, mesozoische Tone, mesozoische Mergel, mergelreiche Molasse, sandsteinreiche Molasse, verkittete Schotter, Kiese und Kalke.

A. Torf

Im Neeracher und Dielsdorfer Ried, im Furttal, im Wehntal, südlich von Oberglatt und im Klotener Ried wurde Torf angetroffen. Die einzelnen Gebiete können gegenseitig durch ihre spez. Wid. nicht unterschieden werden. Die spez. Wid. bewegen sich zwischen $12-40~\Omega m$, wobei die häufigsten Werte zwischen $25~und~35~\Omega m$ liegen. Die Mächtigkeiten sind im allgemeinen sehr unterschiedlich und können von einigen Metern bis über 10~m betragen.



B. Lehme (Junge pelitische Ablagerungen)

In dieser Gruppe sind zusammengefaßt Gehängelehme, Seebodenlehme und Lehme verschiedener oder ungeklärter Entstehungsart.

Die Gehängelehme weisen spez. Wid. von 15 bis 45 Ω m auf. Der häufigste Wert ist 30 Ω m. Ihre Mächtigkeit übersteigt im Durchschnitt kaum einige Meter. Ihr Vorkommen beschränkt sich meist auf den Fuß der Hänge von Molassehügeln. Da unser Gebiet zu einem sehr großen Teil aus Molassegesteinen aufgebaut ist, treten die Gehängelehme sehr häufig auf.

Im Dielsdorfer und Klotener Ried wurden Seebodenlehme angetroffen. Im ersten Gebiet bewegen sich die spez. Wid. um 17 Ω m, bei Mächtigkeiten bis zu 18 m, im zweiten Gebiet zwischen 30—34 Ω m. Die Mächtigkeiten streuen hier von 24 bis 37 m.

Den weitaus größten Anteil in der Gruppe der Lehme haben die Lehme verschiedener Entstehungsart. In der untenstehenden, kleinen Tabelle sind alle Angaben zusammengestellt.

| Gebiet | Ω m | Häufigster Wert in Ωm | Mächtigkeiten in m |
|--------------------------------|------------|-----------------------|-----------------------|
| Dielsdorfer und Neeracher Ried | 20—38 | 32 | 12—18 |
| Klotener Ried | 30—55 | 45 | 8—50 |
| Furttal | 24—36 | 30 | 13—76 |
| Wehntal | 34—50 | 41 | 7—10 |
| Glattal | 28—38 | 32 | 5— 7 |
| Limmattal | 20—55 | 35 | 6—45 |
| Reußtal | 3044 | 38 | 4—44 |
| Birrfeld | 20—44 | 35 | 4—80 |

C. Lehme mit Steinen (Grundmoräne)

Zum Unterschied der Lehme von B weisen diese noch Einlagerungen von Geröllen von Sand- bis Grobkiesgröße auf.

Im Stadlertal, in der Ebene Embrach-Rorbas und im Gebiet zwischen Birmenstorf und Mellingen wurden Grundmoränen festgestellt. Die spez. Wid. sind im Stadlertal 20—40 Ω m (32 Ω m häufigster Wert), für Embrach-Rorbas einheitlich 30 Ω m und zwischen Mellingen und Birmenstorf von 30 bis 70 Ω m mit einem häufigsten Wert von 55 Ω m. In keinem der vorliegenden Gebiete konnte die Mächtigkeit der Grundmoräne bestimmt werden. Der Grund hierfür ist der kleine Unterschied der spez. Wid. der Grundmoräne und der ihr unterlagerten Molassegesteine. Im Stadlertal wurden Überlagerungen der Grundmoräne von über 60 m Mächtigkeit bestimmt, zwischen Embrach und Rorbas um 20 m. Bei Mellingen liegt die Grundmoräne in 70 m Tiefe, SE Birmenstorf noch etwa in 36 m Tiefe.

D. Mesozoische Tone

Im nordwestlichen und westlichen Teil des Untersuchungsgebietes wurden mesozoische Tone angetroffen. Es sind zur Hauptsache Opalinustone — kalkarme Schiefertone, in Wasser erweichbar — des unteren Dogger. Die einzelnen Gebiete sind folgende:

Lägern-Habsburg-Antiklinale: Die spez. Wid. sind einheitlich 20 Ω m. Kestenberg: 30 Ω m ist hier einheitlich bestimmt worden. Ruckfeld: Die Werte streuen zwischen 13 und 20 Ω m, der häufigste Wert liegt bei 19 Ω m. Am Achenberg bestimmt man eine Streuung von 14 bis 25 Ω m, mit einem häufigsten Wert um 19 Ω m. Im Gebiet von Zurzach-Rietheim sind die spez. Wid. wiederum einheitlich um 21 Ω m.

Mächtigkeiten können keine angegeben werden, da die Tone einerseits sehr gute Leiter sind und somit als «Abschirmung» auf ihr Liegendes wirken, und anderseits meistens unter einer mächtigen Überdeckung (im Ruckfeld bis zu 85 m) liegen.

E. Mesozoische Mergel

Einen Teil dieser Gruppe bilden die Mergel der Effingerschichten des unteren Malms (Argovien), den anderen Keuper- und Liasmergel. Die Effingermergel sind deutlich schiefrige, relativ kalkreiche Mergel mit Einlagerungen von zahlreichen, dünnen Bänken von fein kristallinen Kalksteinen. Die Keupermergel sind vorwiegend karbonatreich, zerfallen in Wasser und haben Einlagerungen von Gips, Sandsteinen und Dolomit. Die Liasmergel sind geringmächtige, kalkarme bis fast kalkfreie Pelite.

Die Effingermergel haben ihren häufigsten Wert zwischen 70—75 Ω m bei einer Streuung von 50 bis 110 Ω m; die Keupermergel und Liasmergel liegen zwischen 20 und 42 Ω m mit einem häufigsten Wert bei 32 Ω m. Diese beiden Gruppen sind auf dem Häufigkeitsdiagramm (Tabelle S. 20) deutlich erkennbar.

Die Effingermergel wurden an der Lägern, am Kestenberg, im Raum Hörnli-Achenberg und am Rande des Birrfeldes festgestellt, die Keuper- und Liasmergel im Gebiet von Zurzach-Rietheim.

Aus ähnlichen Gründen, wie bei den mesozoischen Tonen, konnten für die mesozoischen Mergel keine Mächtigkeiten bestimmt werden.

F. Mergelreiche und sandsteinreiche Molasse

Die Molasse besteht einerseits aus porösen, meist kalkhaltigen, feinkörnigen Sandsteinen und anderseits aus Mergeln von verschiedenem Kalkgehalt. Die marine Molasse besteht vor allem aus Sandsteinen, wobei der kalkreiche Muschelsandstein zu erwähnen ist. In der Unteren Süßwassermolasse wiegen Mergel weit vor und z. T. auch in der Oberen Süßwassermolasse. Für unsere Betrachtungen benützen wir folgende Einteilungen: Mergelreiche Molasse = Obere und Untere Süßwassermolasse, Sandsteinreiche Molasse = Marine Molasse.

Aus der Übersichtskarte (Fig. 4) ist der Hauptanteil dieser Gesteine am Aufbau des Gebietes, sowie ihre Verteilung ersichtlich.

Die spez. Wid. der mergelreichen Molasse liegen zwischen 26 und 200 Ω m mit häufigsten Werten zwischen 40—50 Ω m. Die Extremwerte der sandsteinreichen Molasse sind 23 und 330 Ω m. Das Häufigkeitsdiagramm zeigt zwei Maxima. Ein erstes liegt bei 120 Ω m und deutet den höheren Sandgehalt der marinen Molasse an, ein zweites liegt an gleicher Stelle wie das der mergelreichen Molasse. In den Sondierprofilen wurden die Molassegesteine fast überall als Liegendes angetroffen. Die wenigen Stellen, für welche Molassemächtigkeiten angegeben werden können, sind in den Erläuterungen zu den geologischen Tiefenkarten (Kapitel VII, S. 32) zu finden.

G. Verkittete Schotter (Deckenschotter)

Die verkitteten Schotter (Kies-Sandablagerungen der älteren Eiszeit) beschränken sich in ihrem Vorkommen ausschließlich auf Hochplateaus der Molasse. Auf folgenden Molasse-Erhebungen liegen Deckenschotter: Stadlerberg: Die Messungen ergaben einen mittleren spez. Wid. von 1700 Ωm und Mächtigkeiten um 15 m. In diesem Zusammenhang sei auf die Arbeit von Tarass (1954) verwiesen.

Sie betrifft eingehende geoelektrische Untersuchungen am Stadlerberg. Egg: Der häufigste Wert beträgt 1050 Ω m. Die ermittelten Mächtigkeiten liegen zwischen 20 und 50 m. D"urn-Gl"and: Auf diesem Plateau wurden viel niedrigere spez. Wid. bestimmt. Der häufigste Wert liegt bei 660 Ω m; die Mächtigkeiten schwanken zwischen 15 und 48 m. Bowald: Die Unterschiede in den spez. Wid. sind hier bedeutend; der größte Wert beträgt 4500 Ω m, der kleinste 250 Ω m. Letzterer deutet auf Verwitterung des im allgemeinen schlecht leitenden Materials hin. Der häufigste Wert für den Bowald ist 1650 Ω m. Die vorgefundenen Mächtigkeiten gehen von 12 bis 50 m. Kreuzliberg: Die Werte liegen hier wiederum tief und zeigen eine Häufung bei 500 Ω m. Die Mächtigkeiten bewegen sich zwischen 40 und 50 m. Sanzenberg: Auf ihm konnte nur ein einziges Profil gemessen werden. Die Daten sind: 2600 Ω m und 68 m.

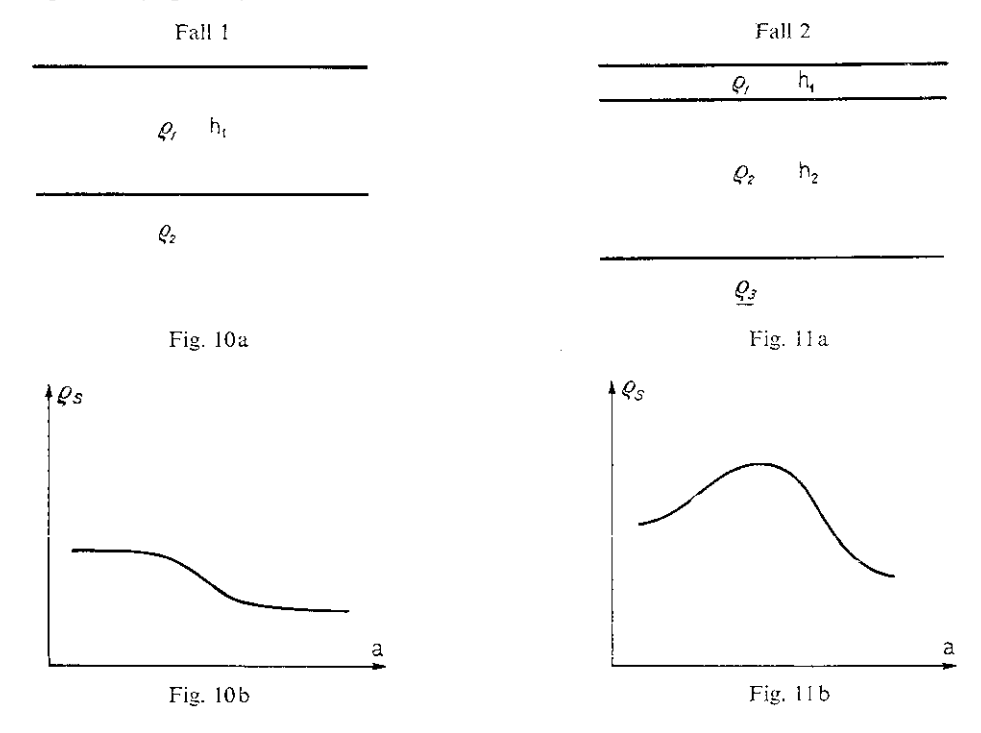
An anderen Vorkommen von Deckenschottern, wie z. B. Altberg oder Laubberg, konnten wegen der ungeeigneten topographischen Verhältnisse keine Widerstandsprofile aufgenommen werden.

H. Unverkittete Schotter (Kiese)

Die unverkitteten Kies-Sandablagen der jungen Eiszeit sind in unserem Gebiet sehr reich vertreten und halten sich zur Hauptsache an die weitverzweigten Talsysteme. Ihren größten Anteil bilden die Niederterrassenschotter, zu einem kleineren Teil sind es Schotter der Mittel- und Hochterrasse. Für unsere Betrachtungen sind alle diese Schotter unter ihrer einheitlichen petrographischen Bezeichnung «Kiese» zusammengefaßt. Wegen der weiten Verbreitung dieser Gesteinsart erhielten wir in zwei Drittel aller gemessenen Sondierprofile Angaben über die spez. Wid. der Kiese. Bei der Auswertung ließen sich zwei Fälle von geoelektrischen Profilen unterscheiden.

Fall 1: In Fig. 10a ist ein Bodenprofil dargestellt, wie es die Auswertung des Widerstandprofils (Fig. 10b) liefert. ρ_1 ist der spez. Wid., h_1 die Mächtigkeit des Kieses, ρ_2 der spez. Wid. des Liegenden, z. B. der Molasse. Man hat also hier einen 2-Schichten-Fall.

Fall 2: Die Auswertung ergibt ein dreischichtiges Bodenprofil (Fig. 11a). ρ_3 ist als Liegendes des Profils wiederum ein guter Leiter. ρ_1 und ρ_2 sind die spez. Wid. des Kieses und h_1 und h_2 die entsprechenden Mächtigkeiten (Fig. 11b).



Die Häufigkeitsdiagramme der Tabelle (S. 20) geben Aufschluß über das Verhalten der spez. Wid. Aus der Darstellung ist ersichtlich, daß sich p1 der Fälle 1 und 2 nicht unterscheiden lassen. Die Werte von ρ₂ liegen viel höher und haben die größte Häufigkeit zwischen 1000 Ωm und 2000 Ωm. Die Mächtigkeiten der verschiedenen Horizonte sind: h₁ von 1: Mittlere Mächtigkeit 22 m (Extremwerte 2 m und 70 m); h₁ von 2: Mittlere Mächtigkeit 9 m (Extremwerte 1 m und 40 m); h₂ von 2: Mittlere Mächtigkeit 33 m (Extremwerte 1,5 m und 107 m). Es wurde nun untersucht, ob an einen bestimmten Kies nur einer der beiden Fälle gebunden ist, d. h. ob z. B. Fall 2 nur auf Niederterrassen- oder nur auf Hochterrassenschottern auftritt usw., oder ob sich andere gemeinsame Punkte für eine der Kiesgruppen ergeben. Überall wurde festgestellt, daß die beiden Fälle auf allen Schottern (Niederterrasse, Mittel- und Hochterrasse) gefunden werden können. So findet man z. B. sowohl in der Hochterrasse des Ruckfeldes, als auch in der Niederterrasse des Birrfeldes Kiese, wie sie im Fall 2 beschrieben sind. Anderseits zeigte sich, daß Kiese von 1 in der Regel nahe der Ränder eines Schotterfeldes (z. B. nahe von Talhängen) auftreten, während Kiese nach 2 vorwiegend im «Innern» desselben Schotterfeldes anzutreffen sind. Die Besichtigung verschiedener, ganz frischer Kiesgruben zeigt überall eine makroskopische Homogenität des Materials. Petrographisch besteht kein Unterschied zwischen den beiden Kiesgruppen. Der durch die Auswertung der Sondierprofile (Fall 2) gelieferte Horizont h1 ist rein physikalischer Natur und beruht nicht auf einem lithologischen Wechsel. Seine spez. Wid. sind immer 2- bis 20 mal kleiner als das p2. Der Leitfähigkeitsunterschied in den petrographisch homogenen Kiesen kann somit nur mit unterschiedlichen Elektrolytgehalten erklärt werden. Die Elektrolytgehalte werden vorwiegend durch eingedrungene Sickerwasser mit ihrem chemischen Einwirkungsvermögen auf die verschiedenen Materialkomponenten bestimmt. In den auskeilenden Zonen von Kiesablagerungen können neben den von oben her eindringenden Sickerwassern auch seitlich wässerige Lösungen (z. B. Gehängewasser) den Kiesen zufließen und auf die Weise auch in tieferen Lagen eine größere Feuchtigkeit und einen erhöhten Elektrolytgehalt bewirken. Man wird in diesem Fall ein geoelektrisches Sondierprofil der Gruppe 1 messen. Ob im Liegenden dieser Kiese noch solche von hohem spez. Wid. und einer im Verhältnis zu h₁ sehr geringen Mächtigkeit vorkommen, kann anhand der benützten, theoretischen Auswertungskurven nicht gesagt werden.

Zusammenfassend ergibt sich nach unseren Messungen und Beobachtungen über die Kiese folgendes: In der Regel werden auf Schotterfeldern geoelektrische Widerstandsprofile nach Fall 2 gemessen. Der obere Horizont h_1 ist rein physikalischer Natur und zeichnet sich durch einen höheren Elektrolytgehalt gegenüber Horizont h_2 aus. Bei den Profilen gegen die Ränder der Schotterfelder hin fehlt Horizont h_2 (eine sehr geringe Mächtigkeit desselben wird durch die Auswertung nicht angezeigt). Die Mächtigkeit des Horizontes h_1 ist im Mittel 9 m, gegen die randlichen Zonen nimmt sie durchschnittlich bis auf 22 m zu. Die gemittelte Gesamtmächtigkeit der Kiesablagerungen $(h_1 - h_2)$ beträgt 42 m.

I. Kalke

Das Häufigkeitsdiagramm (Tabelle S. 20) zeigt deutlich drei Maxima. Diese entsprechen drei vorwiegend kalkigen Schichtgruppen, erstens den vorwiegend dichten Kalken des Malms, zweitens den stark von Mergellagen durchsetzten Kalkbänken des Doggers (Mergelkalke) und drittens den dichten bis spätigen Kalken des Muschelkalks der Trias (Muschelkalke).

Die spez. Wid. sind folgende: Mergelkalke: 55—170 Ω m, häufigster Wert zwischen 90 und 95 Ω m; dichte Kalke: 120—1200 Ω m, häufigster Wert um 380 Ω m; Muschelkalke: 650—1600 Ω m, häufigster Wert 1100 Ω m. In nachstehenden Gebieten wurden diese Schichtgruppen festgestellt: Mergelkalke und

dichte Kalke: An der Lägern, ihrem Ostende und ihrer westlichen Fortsetzung, an der Habsburg-Antiklinale, am Kestenberg, im Raum zwischen Kaiserstuhl-Döttingen-Würenlingen, im Wehntal und im Surbtal; Muschelkalke: SW von Koblenz und an der Habsburg-Antiklinale.

Die Kalke wurden überall als Liegendes der Sondierprofile angetroffen, so daß keine Angaben über ihre Mächtigkeiten gemacht werden können. Die geologischen Tiefenkarten erteilen jedoch Aufschluß über die Mächtigkeiten des Hangenden der Kalkhorizonte. Es seien hier noch die wichtigsten Stellen erwähnt, an welchen Kalk in mehr als 100 m Tiefe festgestellt wurde: Zwischen Dielsdorf und dem 3 km östlich davon gelegenen Eschenberg und auf der Südseite des Wehntales. Näheres hierüber findet sich in Kapitel VII, Abschnitt B).

VI. Die Widerstandskarten

Eine Widerstandskartierung wird mit einer gleichbleibenden Meßanordnung ausgeführt, wodurch die Sondiertiefen in allen Meßpunkten mehr oder weniger dieselben sind. Man kartiert somit die horizontale Variation des scheinb. spez. Wid. ρ_s eines gleichmäßig dicken Paketes des Untergrundes. Die Mächtigkeit dieses Paketes entspricht für die Wenner-Anordnung ungefähr dem Grundabstand, mit welchem die Kartierung vorgenommen wurde.

Auf jeder Meßstation wurde ρ_s für die Grundabstände 4 m, 12 m, 36 m, 108 m und 324 m bestimmt. Für jeden Grundabstand, bzw. jede Sondiertiefe wurden die Widerstandswerte in eine Karte eingetragen und Kurven gleichen scheinb. spez. Wid. (Isoresistiven) gezeichnet. Es ist nun selbstverständlich, daß eine Widerstandskarte nur dann möglichst objektiv gezeichnet werden kann, wenn ihr ein entsprechend dichtes Stationsnetz zugrunde liegt. Weitmaschige Stationsnetze, wie das vorliegende, geben der Kurvenführung größere Freiheiten, wodurch verschiedene, aber immer mit den Meßwerten verträgliche Lösungen (Karten) gezeichnet werden können. Alle möglichen Lösungen haben jedoch nicht dieselbe geologische Wahrscheinlichkeit. Um diese in größtem Maße zu erreichen, wird man sich beim Zeichnen von Widerstandskarten zur Hauptsache von geologischen Überlegungen und Kenntnissen und dementsprechend von gewissen Vorstellungen leiten lassen, womit nicht gesagt sein will, daß der individuelle Einfluß des Interpreten nun ausgeschaltet sei. In diesem Zusammenhang sei auf die sehr aufschlußreiche Arbeit von *Poldini* (1944) verwiesen.

Im folgenden Abschnitt werden einige Bemerkungen zu der Sondiertiefe und dem scheinb. spez. Wid. in den Widerstandskarten gemacht und in Abschnitt B Erläuterungen zu den Widerstandskarten gegeben.

A. Bemerkungen über Sondiertiefe und scheinbaren spezifischen Widerstand in den Widerstandskarten

Sondiertiefe: Unter der Sondiertiefe einer festen Meßanordnung verstehen wir diejenige Tiefe einer Unstetigkeitsfläche, die mit einer gewünschten Genauigkeit noch bestimmt werden kann. So kann eine konstante Meßanordnung bei gegebener Genauigkeit der Tiefenbestimmung recht verschiedene Sondiertiefen besitzen. In diesem Fall hangen die erreichbaren Sondiertiefen nur vom Widerstandsverhältnis der erfaßten Schichten ab. Im folgenden werden diese Zusammenhänge näher erläutert.

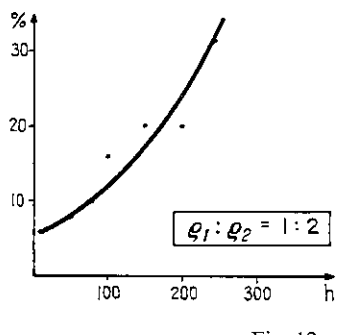


Fig. 12

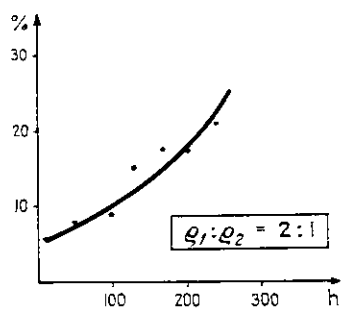


Fig. 13

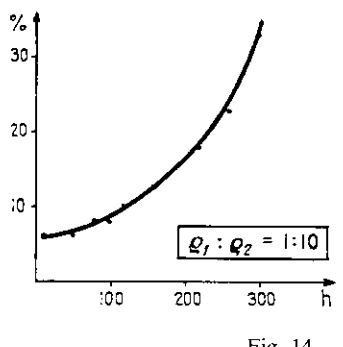


Fig. 14

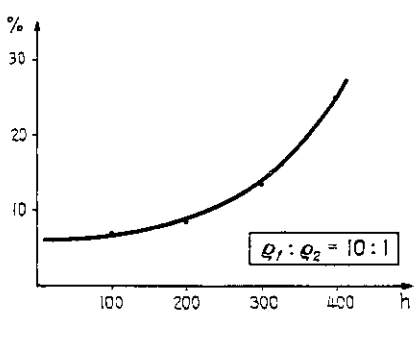
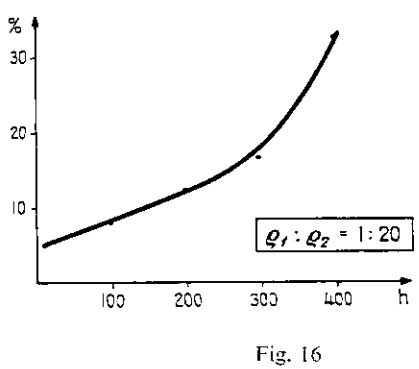
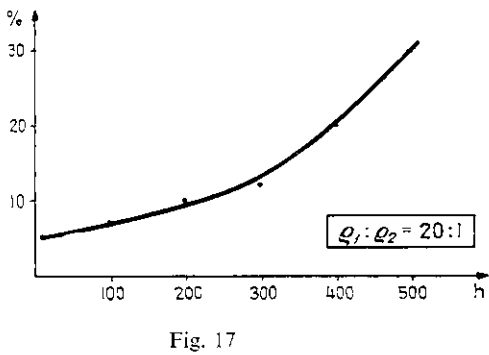


Fig. 15





Zu diesem Zweck betrachten wir unsere Meßanordnung mit ihren fünf Grundabständen und einer Totallänge der Wenner-Auslage von 972 m. Wir fragen nun, was für Sondiertiefen mit dieser Auslage erreicht werden können. Dies soll am 2-Schichten-Fall untersucht werden. Die nachstehenden Widerstandsverhältnisse von erster zu zweiter Schicht werden betrachtet: 1:2, 2:1, 1:10, 10:1, 1:20 und 20:1. Für jedes Widerstandsverhältnis wurde folgendes gemacht: Für verschiedene Mächtigkeiten h (10 bis 400 m) der ersten Schicht wurden deren prozentuale Fehler bestimmt, die sich aus dem visuellen Vergleich der Meßkurve mit den theoretischen Zwei-Schichtenkurven ergaben. Diese Fehler sind für kleine Werte von h noch gering, wachsen jedoch mit zunehmender Mächtigkeit von h.

In den Figuren 12 bis 17 sind jeweilen als Abszisse die Mächtigkeiten h und als Ordinate die prozentualen Fehler von h aufgetragen.

Widerstandsverhältnis 1:2 (Fig. 12): Die Figur gibt den Zusammenhang von h und seinem prozentualen Fehler graphisch wieder. So läßt sich mit unserer festen Meßanordnung eine Mächtigkeit der ersten Schicht von 80 m mit 10% Genauigkeit bestimmen. Anderseits kann eine Mächtigkeit von 160 m mit einer Genauigkeit von 18% ermittelt werden usw. Aus der Auswertung aller für die vorliegende Arbeit gemessenen Widerstandsprofile ergab sich für die Mächtigkeitsbestimmung der einzelnen Horizonte ein max. Fehler von 20%. Dieser Wert gelte auch für alle vorliegenden Betrachtungen. Daraus ergibt sich eine Sondiertiefe unserer Meßanordnung bei einem Widerstandsverhältnis von 1:2 von 180 m.

Ist dieses Verhältnis umgekehrt, also 2:1, so zeigt uns Fig. 13 eine Sondiertiefe von 220 m an. Hieraus ist schon ersichtlich, daß größere Sondiertiefen erreicht werden können, wenn das Liegende besser leitend ist als das Hangende. Mit wachsendem Unterschied der Leitfähigkeit nimmt auch die Sondiertiefe zu. Für das Widerstandsverhältnis 1:10 (Fig. 14) beträgt die Sondiertiefe 230 m, für das Verhältnis 10:1 (Fig. 15) 360 m. Bei einem Widerstandsverhältnis von 1:20 (Fig. 16) läßt sich eine Sondiertiefe von 340 m und einem solchen von 20:1 (Fig. 17) von 400 m erreichen.

Die sechs angeführten Widerstandsverhältnisse überdecken einen Großteil der von uns im Feld angetroffenen Fälle. Mittelt man nun alle obenstehenden Sondiertiefen, so ergibt sich eine durchschnittliche Sondiertiefe der verschiedenen Verhältnisse von 290 m. Diese Sondiertiefe entspricht ungefähr dem größten Grundabstand (a = 324 m) unserer Widerstandsprofile. In diesem Sinne ist die Faustregel zu verstehen, die besagt, daß für die Wenner-Methode die Sondiertiefe angenähert dem Grundabstand entspricht.

Die dargelegten Betrachtungen für verschiedene 2-Schichten-Fälle können auch für die komplizierteren 3- und Mehr-Schichten-Fälle durchgeführt werden.

Die nachstehenden Bemerkungen betreffen die Frage der Sondiertiefe in den Widerstandskarten. Es wurde oben gezeigt, daß mit einer festgehaltenen Meßanordnung unterschiedliche Sondiertiefen erreicht werden und daß diese vom Widerstandsverhältnis der erfaßten Schichten abhängig sind. Dieses gilt auch für die Widerstandskartierung. Bedenkt man die Vielfalt der in einem zu untersuchenden Gebiet vorkommenden Widerstandsverhältnisse, so kann, aus analogen Gründen wie oben die Sondiertiefe einer Widerstandskarte im Durchschnitt dem Grundabstand gleichgesetzt werden, mit dem sie ausgeführt wurde.

Der scheinb. spez. Wid. in den Widerstandskarten: Anhand von zwei Beispielen soll gezeigt werden, wie die scheinb. spez. Wid. durch die wahren spez. Wid. der einzelnen Schichten bestimmt werden. In Fig. 18 und Fig. 19 sind zwei für unser Gebiet typische Beispiele wiedergegeben. Fig. 18 stellt die Auswertung des Sondierprofils in Meßpunkt 268450/675950 dar. Die Mächtigkeiten sind als Ordinaten im logarithmischen Maßstab in Meter aufgetragen. Die Schichtfolge zeigt bis 50 m Tiefe Kiese mit $1200~\Omega m$. Die ersten 5 m dieses Materials haben einen geringeren Widerstand ($400~\Omega m$). Es sind Kiese von derselben Beschaffenheit, wie sie in Kapitel V beschrieben wurden. Nach 50 m Tiefe steht mergel-

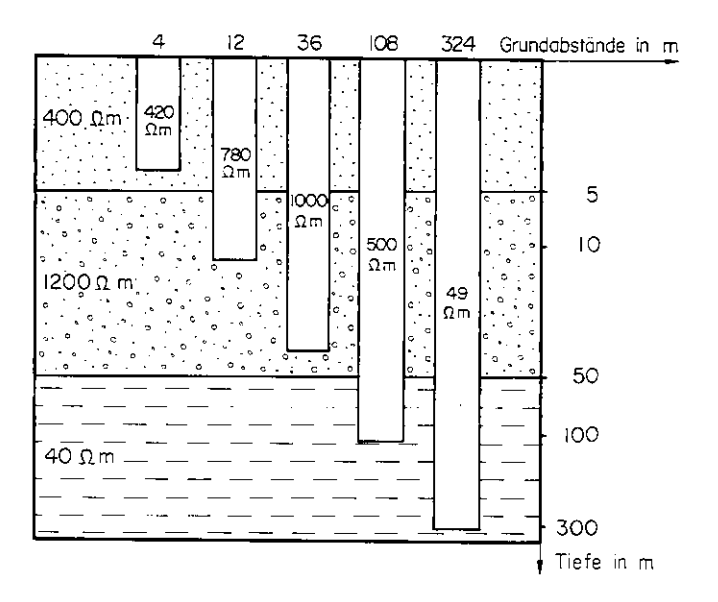


Fig. 18. Geoelektrische Verhältnisse in Meßpunkt 268450/675950 Erläuterungen im Text

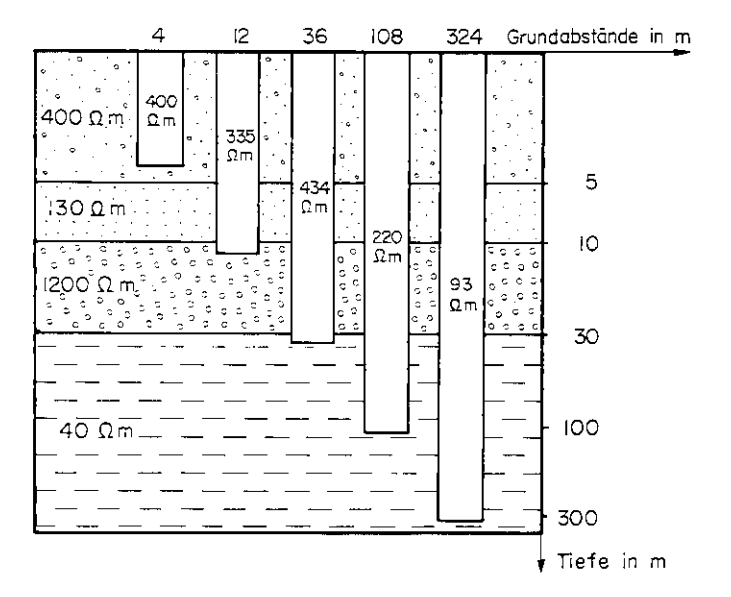


Fig. 19. Geoelektrische Verhältnisse in Meßpunkt 265 280, 669 260 Erläuterungen im Text

reiche Molasse (Obere Süßwassermolasse) mit 40 Ωm an. Ferner sind in der Figur in fünf Säulen die gemessenen ρ_s-Werte für die Grundabstände 4 m, 12 m, 36 m, 108 m und 324 m eingetragen. Die Säulenlängen entsprechen den Längen der Grundabstände, womit die Größenordnung der jeweiligen Sondiertiefe veranschaulicht sei.

In Fig. 19 sind in analoger Weise die Ergebnisse von Meßpunkt 265280/669260 dargestellt. Das Schichtprofil zeigt hier folgendes: Bis 5 m Tiefe Kiese mit 400 Ω m. Von 5 bis 10 m Kiese z. T. etwas lehmig mit 130 Ω m. Von 10 bis 30 m Tiefe verkittete Schotter (Deckenschotter) von 1200 Ω m und als Liegendes mergelreiche Molasse (Obere Süßwassermolasse) mit einem Widerstand von 40 Ω m.

Betrachten wir zunächst die scheinb. spez. Wid. (ρ_8) in Fig. 18. Für 4 m Grundabstand ist ρ_8 420 Ω m und ρ der ersten Schicht (ρ_1) 400 Ω m. ρ_8 ist für diese Sondiertiefe schon etwas höher als ρ_1 ; ein Teil des Stromes fließt bereits durch die mittlere schlechtleitende Schicht. Für 12 m ist ρ_8 780 Ω m, wodurch sich der schlechte Leiter deutlich anzuzeigen beginnt. Für 36 m Grundabstand ist ρ_8 1000 Ω m. Dieser Wert liegt etwas unter dem wahren Widerstand der mittleren Schicht (1200 Ω m). Er ist bedingt durch die besser leitende Oberflächenschicht (400 Ω m). Die ρ_8 -Werte für die Grundabstände 108 m und 324 m nehmen nun schnell ab. Der Einfluß der mittleren schlechtleitenden Schicht macht sich immer weniger bemerkbar. Für 324 m ist ρ_8 nur noch 49 Ω m, womit man in die Größenordnung des spez. Wid. des Liegenden (40 Ω m) gelangt. Etwas komplizierter sind die Verhältnisse des Beispieles in Fig. 19. Hier liegt ein 4-Schichten-Fall vor und die ρ_8 -Werte folgen viel weniger deutlich, als im vorangehenden Beispiel, den effektiven spez. Wid. der einzelnen Schichten. Für 4 m Grundabstand ist der ρ_8 -Wert gleich dem wahren Widerstand der ersten Schicht (400 Ω m). Bei 12 m nimmt ρ_8 etwas ab (335 Ω m) und deutet somit die zweite Schicht (ρ_2 = 130 Ω m) an. Die dritte, am schlechtesten leitende Schicht kommt im ρ_8 -Wert für 36 m zum Ausdruck. Mit zunehmender Profillänge nimmt ρ_8 wieder ab; der gute Leiter im Liegenden (40 Ω m) macht sich bemerkbar.

B. Einige Erläuterungen zu den Widerstandskarten (Tafeln I-V)

Eine Widerstandskartierung wird mit um so größerem Erfolg angewendet, je besser sich die zu untersuchenden geologischen Formationen in ihren spez. Wid. unterscheiden.

In unserem Gebiet haben wir für folgende Schichtfolgen gute Leitfähigkeitsunterschiede: Kiese — Molasse, Deckenschotter — Molasse, Kiese — Tone, Kiese — Mergel und Molasse — Kalke. In unseren Widerstandskarten treten die Gebiete solcher Materialpaarungen deutlich hervor.

Ferner ist bei einer Widerstandskartierung noch ein weiterer Punkt zu beachten. Gesteinsgrenzen treten im allgemeinen in einer Karte gut in Erscheinung, wenn man einen im Wendepunktsbereich der Widerstandskurve liegenden Elektrodenabstand wählt.

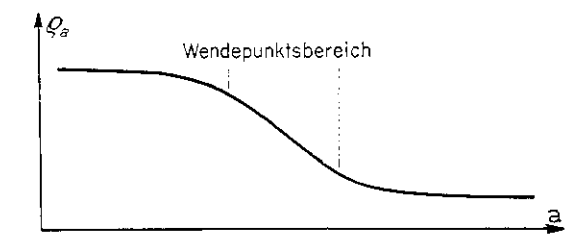


Fig. 20. Widerstandskurve eines 2-Schichtenfalles mit Wendepunktsbereich

In Fig. 20 ist der Wendepunktsbereich auf einer Widerstandskurve für einen zweischichtigen Untergrund eingetragen. Man wählt einen Elektrodenabstand im Wendepunktsbereich, weil die ps-Werte in diesem Bereich der Widerstandskurve am empfindlichsten auf Mächtigkeitsänderungen der überdeckenden Schicht (Lage der Schichtgrenze) reagieren.

Die in unserem Gebiet am meisten interessierende Gesteinsgrenze ist die Trennfläche von quartären und tertiären Formationen. Die quartären Ablagerungen haben sehr verschiedene Mächtigkeiten. Demzufolge wird nicht nur eine der vorgelegten Karten die Verhältnisse am besten wiedergeben. Je nach der Schichtdicke der Überdeckungen werden lokale Verhältnisse besser in der einen als in der anderen Karte erscheinen. Dies ist mitunter ein Grund, warum mehrere Widerstandskarten gezeichnet wurden.

Im folgenden wird anhand der Karte für 36 m Grundabstand gezeigt, wie diese Karten gelesen und interpretiert werden können.

Die Widerstandskarte für 36 m Grundabstand (Tafel III): Entsprechend der geologischen Vielseitigkeit zeichnet sich die Widerstandskarte durch große Unterschiede der Widerstände aus, wie dies durch die verschiedenen Helligkeitsstufen der Signatur schon ersichtlich ist. Die dunkelsten Bereiche haben Widerstände von 400 Ω m und mehr, die hellsten von 50 Ω m und darunter. Mit den Betrachtungen soll im erweiterten Gebiet des Glattales begonnen werden. Im Süden ist eine große Zone niedrigen Widerstandes (< 50 Ω m); es ist das Klotener Ried mit seinen Lehmen um 45 Ω m. Ebenfalls als gutleitende Zone bezeichnet sich NE des Klotener Riedes der Molassehügel zwischen Bülach, Embrach und Kloten ab. Von Oberglatt an nordwärts bis zum Rhein nehmen die Widerstände ständig zu. Dieses Gebiet schlechter Leitfähigkeit zeigt die weitverbreiteten Kiesablagerungen des unteren Glattales an. Südlich von Eglisau, zwischen Laubberg und Rheinsberg, ist durch eine Rinne hohen Widerstandes ein alter Glattlauf angedeutet. Die Deckenschotter des Stadlerberges und des Sanzenberges, der Egg und ihrer nördlichen Fortsetzung (als «Belchen» in der Landeskarte bezeichnet), des Bowaldes und des Gländ heben sich deutlich durch ihre hohen Widerstände von ihrer gutleitenden Unterlage, der Molasse, ab. Die zwischen diesen Deckenschotterplatteaus durchziehenden Täler, wie Bachsertal und das Tal von Niederweningen nach Siglisdorf treten als Zonen guter Leitfähigkeit (Molasse) hervor. Im Gegensatz zu diesen Tälern von kleinem Widerstand hebt sich das südlich von ihnen gelegene Wehn- und Surbtal (von Steinmaur bis Endingen) durch höheren Widerstand (100-200 Ωm) von seiner Umgebung ab. Im Osten des Wehntales erkennt man an den kleinen Widerständen ($< 50 \ \Omega m$) das sumpfig-lehmige Gebiet des Dielsdorfer und Neeracher Riedes. In westlicher Fortsetzung des Surbtales trifft man zuerst auf das deutlich hervortretende Ruckfeld (200-400 Ω m) und dann auf die sehr schlecht leitenden Aarekiese (höchste Werte bis 1950 Ωm). Die Höhenzüge Achenberg und Hörnli zeichnen sich durch geringen Widerstand aus (20—30 Ωm). Es sind zur Hauptsache die Opalinustone, die hier ein Gebiet guter Leitfähigkeit bewirken. Im Birrfeld, im Reußtal und im Bünztal (S des Kestenberges) werden hohe Widerstände bestimmt, welche die ausgedehnten Kiesablagerungen in diesem Gebiet anzeigen. Im S des Birrfeldes und auf der rechten Reußtalseite zeichnet sich die Molasse als guter Leiter ab. An den höheren Widerständen als ihre Umgebung erkennt man das Limmattal und das Furttal. Die übrigen Teile unseres Untersuchungsgebietes, die hier nicht näher erwähnt werden, haben geringe Widerstände (immer < 100 Ω m, niedrigste Werte bis gegen 20 Ω m). Es sind zur Hauptsache die elektrisch gut leitenden Molassegesteine.

Aus obenstehenden Erläuterungen geht hervor, wie eine Widerstandskarte, trotz Mehrdeutigkeit der scheinb. spez. Wid., das Untersuchungsgebiet in geologische Einheiten aufteilt und daher wie eine geologische Übersichtskarte gelesen werden kann.

VII. Die geologischen Tiefenkarten

Aus den Sondierprofilen erhält man Einsicht in die Abfolge und die Mächtigkeiten der Gesteinsschichten des Untergrundes. Man hat die Möglichkeit, Angaben über die Materialart in einer bestimmten Tiefe zu machen und die gewonnenen Erkenntnisse in einer Karte zusammenzufassen. Es gibt verschiedene Arten dies zu tun. Wir haben uns für folgende kartographische Darstellung entschlossen. Die vorgelegte Karte veranschaulicht die geologischen Verhältnisse des Untersuchungsgebietes in einer konstanten Tiefe. So wird z. B. eine Karte für 80 m Tiefe die geologische Situation in 80 m unter der Erdoberfläche wiedergeben. Wie leicht einzusehen ist, stehen die Möglichkeiten, anhand dieser Tiefenkarten geologische Aussagen machen zu können, in direktem Zusammenhang mit der Meßpunktdichte. In unserem Fall zeigen die Karten, was sich mit einer weitmaschigen und großräumigen Meßpunktverteilung geologisch aussagen läßt. Es wurden Karten für 10 m, 20 m, 50 m und 100 m Tiefe erstellt. In ihnen sind Lehme, Kiese und verkittete Schotter, mergelreiche und sandsteinreiche Molasse, mesozoische Kalke und mesozoische Tone und Mergel ausgeschieden.

A. Erläuterungen zu den Tiefenkarten (Tafeln VI—IX)

10 m Tiefe (Tafel VI): In dieser Tiefe herrschen in unserem Gebiet die quartären Ablagerungen (Lehme, Kiese, verkittete Schotter) noch stark vor. Die Lehme halten sich vorwiegend an das Klotener Ried und das Neerach-Dielsdorfer Ried. Kleinere Stellen sind im Furttal, Wehntal, Limmattal und Reußtal. An vereinzelten Stellen trifft man noch Gehängelehme bis in diese Tiefe. Die Kiese überdecken noch über weite Gebiete hin die Molasse und ziehen noch hoch an die Hänge hinauf. Die Deckenschotterplateaus (verkittete Schotter) des Stadlerberges, der Egg, des Sanzenberges, des Bowaldes und des Dürn-Gländ sind in der Karte deutlich erkennbar und bilden große, einheitliche Komplexe. Über große Gebiete erstrecken sich Molassegesteine. Es sind dies der Altberg, das Gebiet zwischen Dielsdorf und Oberglatt, die Gebiete südlich und nördlich der Lägern und des Kestenberges und der östlich von Bülach gelegene Dettenberg. Mesozoische Kalke, Tone und Mergel sind an der Lägern, am Kestenberg und im NW des Untersuchungsgebietes (Tafeljura) anzutreffen.

20 m Tiefe (Tafel VII): Die Lehme und Kiese halten sich mit einigen, sehr kleinen Ausnahmen an die Talsysteme. Diese zeichnen sich nun deutlich ab. Die Deckenschotterplateaus verkleinern ihre Ausdehnungen, was gut erkennbar an der Egg, am Dürn-Gländ und am Bowald ist. Die Molassegesteine treten stärker hervor und erscheinen über große Gebiete zusammenhängend. Südlich von Endingen stößt man in dieser Tiefe auf dichte Malmkalke des Tafeljura, ebenso südöstlich von Rümikon.

50 m Tiefe (Tafel VIII): Das Gebiet des Glattales zeigt keinen zusammenhängenden Verband der quartären Ablagerungen mehr. Im Klotener Ried mit seinen Grenzgebieten und im erweiterten Stadlertal sind größere Molasseeinmuldungen vorhanden. Limmat- und Furttal erscheinen nur noch als schmale Quartärzonen. Die Deckenschotterplateaus sind bis auf einige kleine «Inseln» (Egg, Stadlerberg, Sanzenberg) verschwunden. Im Birrfeld und im Reußtal sind die Quartärablagerungen nicht mehr so ausgedehnt. Im nördlichen Teil des Birrfeldes erscheint ein bedeutender Lehmkomplex, während im südlichen Teil die Molassegesteine nun schon mächtig anstehen. An zwei Stellen ist das Liegende (Opalinuston) der Kiesablagerungen des Ruckfeldes bereits angedeutet. Die Malmkalke, die sich in 20 m Tiefe bei Endingen zeigten, erstrecken sich nun von da aus über Würenlingen bis gegen Untersiggenthal. Die nördlich hievon liegende Kalkzone zieht vom Achenberg bis nach Kaiserstuhl.

100 m Tiefe (Tafel IX): In dieser Karte sind einige Quartärzonen gestrichelt eingezeichnet. Für diese Zonen kann nicht mit Bestimmtheit gesagt werden, ob sie bis in 100 m Tiefe hinabreichen. Es soll somit nur mitgeteilt werden, bis in welche Tiefe sicher noch Quartär vorhanden ist. Im Gebiet des Stadlertales liegen die minimalen Quartärmächtigkeiten zwischen 55 und 70 m. Als Liegendes wird hier überall eine Grundmoräne (20—40 Ωm) festgestellt. Ihr ähnlicher spez. Wid. mit dem der unterliegenden Molassegesteine ergibt dazwischen geoelektrisch keine Unstetigkeitsfläche bzw. keine Schichtgrenze. Geoelektrisch ähnliche Verhältnisse liegen im Birrfeld und im Reußtal vor. Ausgedehnte Lehmschichten reichen stellenweise bis in eine Tiefe von 85 m. Die spez. Wid. kontrastieren zu wenig, um das Liegende der Lehme festzustellen. Es können somit Effinger- oder Molassemergel sein. Dichte Malmkalke würden sich in den Widerstandsprofilen abzeichnen.

Die NW-Grenze der Molassegesteine erscheint in dieser Tiefenkarte sehr deutlich. Sie zieht von Brugg über Lengnau nach Siglisdorf und erreicht bei Kaiserstuhl den Rhein. In dieser Grenzzone ließen sich Molassemächtigkeiten bestimmen, von denen im folgenden einige aufgeführt sind.

- Punkt 1: 2 km SSE von Würenlingen am «Homrig» bei dem Weiler Steinenbüel (262980/662520/540): 90 m Molasse, im Liegenden dichte Kalke
- Punkt 2: 1,5 km NW von Lengnau bei «Unterwiesen» (264720/666140'417): 80 m Molasse, im Liegenden dichte Kalke
- Punkt 3: 1 km E von Böbikon (267 380/668 180/515): 65 m Molasse, im Liegenden Kalke
- Punkt 4: 2,5 km E von Rümikon (268650/672250/442): 23 m Molasse, dichte Kalke im Liegenden

Die nordwestlich an die Molasse anschließenden Kalke bilden eine große zusammenhängende Tafel, die im NW bis zur Linie Tegerfelden-Reckingen vorstößt. Im Ruckfeld und im angrenzenden Gebiet bis zur Aare tritt überall als Liegendes der Kiesablagerungen der Opalinuston hervor (siehe Skizze in Abschnitt C dieses Kapitels).

B. Bemerkungen zu der Lägernantiklinale

Im Dielsdorfer Ried konnte man an verschiedenen Stellen Kalk als Liegendes der Sondierprofile ermitteln. Diese Kalke gehören der nach Osten unter die Molasse eintauchenden Lägernantiklinale. Fig. 21 stellt ein west-östlich, von Dielsdorf bis zum Eschenberg, verlaufendes Profil dar, wie es sich aus unseren geoelektrischen Sondierprofilen ergibt. Sondierprofil Nr. 3 (SP 3) liegt 500 m NW des Bahnhofs

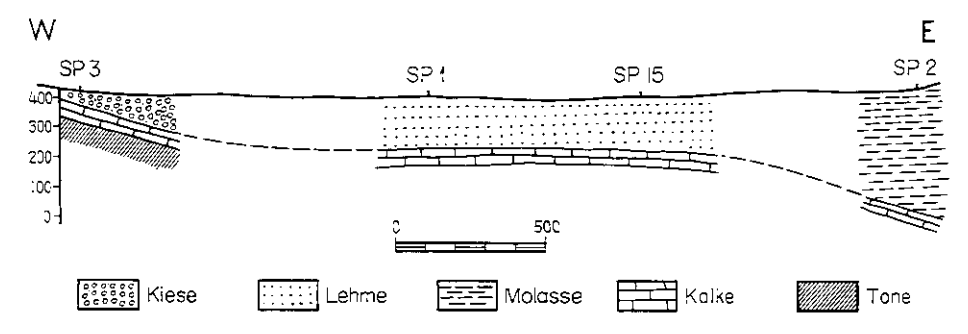


Fig. 21. Geologisches Profil zwischen Dielsdorf (W) und Eschenberg (E), gezeichnet nach geoelektrischen Sondierprofilen

von Dielsdorf und zeigt eine Schichtfolge von Kies-Kalk-Ton. SP 1 und SP 15 sind sehrähnlich. In beiden wurde in 180 m Tiefe Kalk angetroffen. Das Hangende hat jeweils einen sehr niedrigen spez. Wid. (30 Ω m bzw. 20 Ω m). Diese Werte entsprechen einem Lehm. Es ist nun sehr gut möglich, daß der

untere Teil der Lehmschichten von einer mergelreichen Molasse gebildet wird, die sich jedoch wegen angenähert gleicher Leitfähigkeit im Widerstandsprofil nicht anzeigt. SP 2 liegt am Eschenberg, 3 km E von Dielsdorf. Die Auswertung ermittelt Meeresmolasse und Untere Süßwassermolasse und in 400 m Tiefe dichte Kalke. In unserem Profil (Fig. 21) ist die Kalkoberfläche z. T. gestrichelt gezeichnet. An diesen Stellen könnten Brüche durchziehen. Diese Vermutung müssen jedoch erst eingehende Detailuntersuchungen (auch mit anderen geophysikalischen Methoden, vor allem Seismik) erhärten.

C. Bemerkungen zum Liegenden des Ruckfeldes

Das Liegende des Ruckfeldes und des westlich von ihm gelegenen Unterwaldes ist Opalinuston. Fig. 22 ist ein Isohypsenkärtehen der Opalinustonoberfläche. Im Mittel ist der spez. Wid. der Kiese 1500 Ωm, derjenige der Tone 19 Ωm. Beim Betrachten des Kärtehens fällt sofort auf, daß die Oberfläche des Tones ein der Topographie sehr ähnliches Relief besitzt. Beiderorts ist die Stufe vom Ruckfeld zum Unterwald deutlich erkennbar.

Die Tiefenbestimmungen des Opalinustonhorizontes waren wegen der großen Leitfähigkeitsunterschiede mit einer Genauigkeit von weniger als 10% möglich (vgl. Kapitel VI, Abschnitt A).

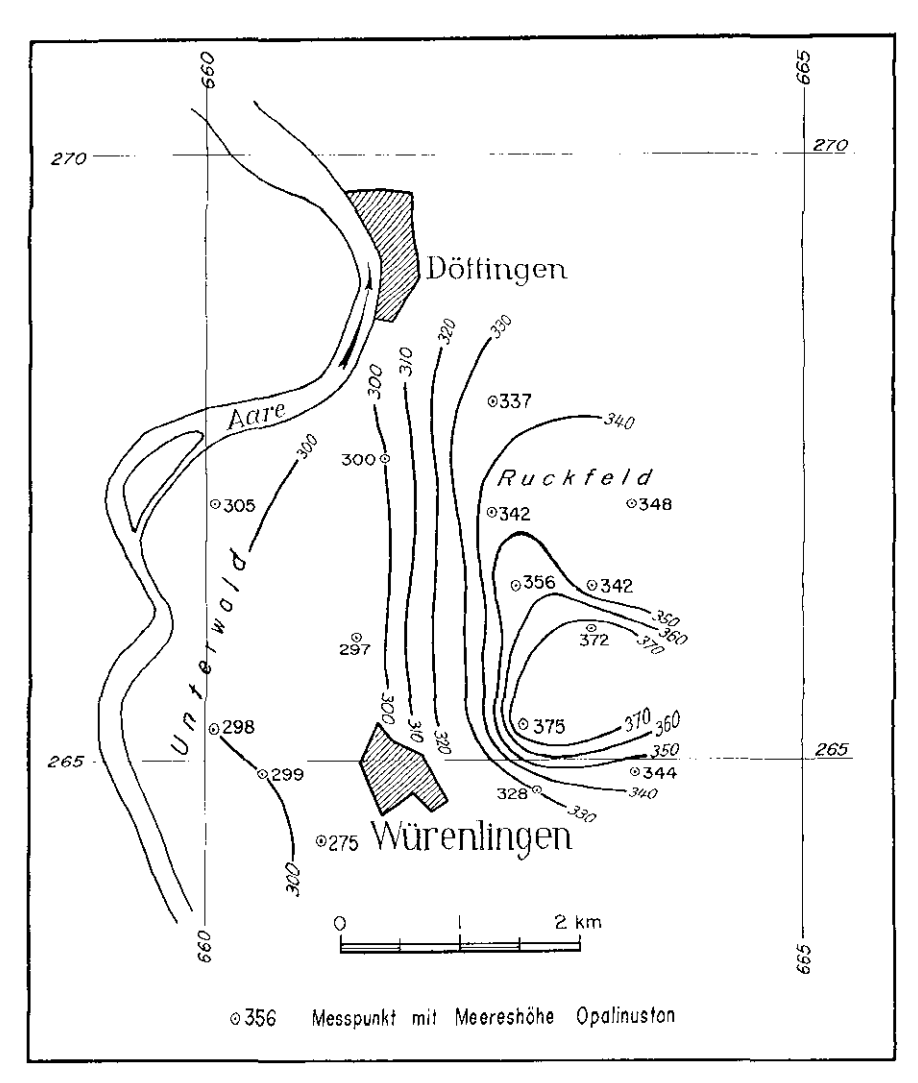


Fig. 22. Isohypsenkärtchen der Opalinustonoberfläche unter den Kiesen des Ruckfeldes und des Unterwaldes

Zusammenfassung

In einem Gebiet von 525 km² nordwestlich von Zürich wurde in den Herbstmonaten der Jahre 1955 und 1956 eine weitmaschige Widerstandskartierung nach der Wenner-Lee-Methode durchgeführt. Auf 417 Meßstationen wurden die scheinbaren spezifischen Widerstände für die Grundabstände 4 m, 12 m, 36 m, 108 m und 324 m bestimmt. Diese Werte dienten einerseits der Erstellung von fünf Widerstandskarten, anderseits der Tiefensondierung in jedem Meßpunkt. Die zusammenfassenden Ergebnisse der Tiefensondierungen sind in vier geologischen Tiefenkarten wiedergegeben. Diese Karten vermitteln eine Übersicht der geologischen Verhältnisse in 10 m, 20 m, 50 m und 100 m Tiefe. Für die vorkommenden Boden- und Gesteinsarten wurden Diagramme gezeichnet, aus welchen die Häufigkeit ihres Vorkommens und der Bereich ihrer spezifischen Widerstände ersichtlich ist.

Eine Widerstandskartierung in diesem Ausmaß wurde in der Schweiz erstmals durchgeführt und zeigt, wie sich großräumige geoelektrische Untersuchungen ausführen und interpretieren lassen.

Abstract

During the autumn months of 1955 and 1956 resistivity mapping was carried out over an area of about 200 square miles to the northwest of Zurich. The apparent resistivities were measured in a widely spaced net of 417 stations. The Wenner-Lee method was used with electrode spacings of 4, 12, 36, 108 and 324 meters respectively. The data were used for compiling five equiresistivity maps and also for depth-determinations at each station. The results of the latter are contained in four maps showing the geological structures at depths of 10, 20, 50 and 100 meters. Diagrams were drawn, in which the range of the resistivity and the abundances of each soil and rock type are indicated.

This is the first time that resistivity mapping of this extent has been carried out in Switzerland and the results show, how geoelectrical investigations in a large area can be carried out and interpretated.

Literaturverzeichnis

a) Geophysik

- BIRCH, F., Schairer, J., und Spicer, C. (1942): Handbook of physical constants. Geol. Soc. America, Special Papers, No. 36
- Bubnoff, S. von (1952): Hydrologie, Geologische Struktur und Elektrische Leitfähigkeit des Bodens in Nordwestdeutschland. Akademie-Verlag, Berlin.
- FRITSCH, V. (1949): Grundzüge der angewandten Geophysik. Manzsche Verlags- und Universitätsbuchhandlung, Wien. Gassmann, F. (1948): Auswertung geophysikalischer Sondierungen mit Hilfe von Potentialfeldern. Schweiz. Min.-Petr. Mitt. 28 (Festschrift P. Niggli).
- —, und Weber, M. (1953ff.): Grundzüge der angewandten Geophysik. IV. Teil: Geoelektrik. Techn. Rundschau, Bern (im Druck).
- --, und Weber, M. (1956): Über geoelektrische Messungen in den Schweizeralpen. Bull. Ver. Schweiz. Petrol.-Geol. u. Ing., Vol. 23, Nr. 64.
- DE GERY, J. C., und KUNETZ, G. (1956): Potential and apparent resistivity over dipping beds. Geophysics, Vol. 21.
- Gretener, P. (1954): Schweremessungen nordwestlich von Zürich und ihre geologische Interpretation. Ecl. geol. Helv., Vol. 47.
- HAALCK, H. (1958): Lehrbuch der angewandten Geophysik, Teil II. Gebr. Bornträger, Berlin-Nicolassee.
- HUMMEL, J. N. (1929): Der scheinbare spezifische Widerstand. Z. Geophysik 5.
- (1929a): Der scheinbare spezifische Widerstand bei vier planparallelen Schichten. Z. Geophysik 5.
- (1935): Unterlagen der geoelektrischen Aufschließungsmethoden. Akad. Verlagsgeseil. m. b. H., Leipzig.
- Koenigsberger, J. (1930): Über geoelektrische Methoden mit direkter Stromzuleitung. Erg.-Hefte. Beit. angew. Geophysik 1.
- (1933): Aufsuchung von Wasser mit geophysikalischen Methoden. Beitr. angew. Geophysik 3, Heft 4.
- Lee, F. W. (1939): The possibility of electrical stratification in the earth as disclosed by surface-measurements of currents and potentials. Trans. Amer. Geophys. Union, Part III.
- MAEDA, K. (1955): Apparent resistivity for dipping beds. Geophysics, Vol. 20.
- MIGAUX, L. (1946): Une méthode nouvelle de géophysique appliquée: La prospection par courants telluriques. Ann. Géophys. 2.
- MOONEY, H. M., und WETZEL, W. W. (1956): The potentials about a point electrode and apparent resistivity curves for a two-, three- and four-layer earth. University of Minnesota Press, Minneapolis.
- PIRSON, S. J. (1939): Interpretation of three-layer resistivity curves. Trans. Amer. Inst. Min. Eng. 110.
- POLDINI, E. (1944): Quelques considérations sur l'interprétation géophysique. Bull. No. 49 des Labor. Géol. Minéral. Géophys., Musée Géol. de l'Univ. Lausanne, Lausanne.
- (1947): La prospection du sous-sol. F. Rouge & Cie. S.A., Lausanne.
- (1957): Etude géophysique électrique de la région de Montfleury (Canton de Genève). Arch. Sci. Soc. Phys. et Hist.
 Nat. Genève. Vol. 10, Fasc. 3, Genève.

Rothé, E. und J. P. (1952): Prospection géophysique. 2. Gauthier-Villars, Paris.

Schlumberger, C. und M. (1930): La méthode de la carte des résistivités. Ann. Min. Tome XVIII.

— (1930a): Depth of investigation attainable by potential methods of electrical exploration. Trans. Am. Inst. Min. Met. Eng., Geophysical Prospecting.

Schneider, H., Truelsen, Ch., und Thiele, H. (1952): Die Wassererschließung. Teil II: Die Geoelektrik in der Wassererschließung. Vulkan-Verlag Dr. W. Classen, Essen.

SLICHTER, L. B. (1933): The interpretation of resistivity prospecting method for horizontal structures. Physics 4, Sept. 1933.

STERN, W. (1933): Die Bestimmung des Verlaufs geneigter Diskontinuitätsflächen (einfallende Schichtgrenzen und Verwerfungen) durch das Widerstandsverfahren. Z. Geophysik 9.

Tarass, N. (1954): Geoelektrische Bestimmung von Schichtgrenzen eines tertiären Plateaus mit Quartärbedeckung. Ecl. geol. Helv., Vol. 47.

WATSON, R. J., und JOHNSON, F. J. (1938): On the extension of two-layer methods of interpretation of earth resistivity data to three and more layers. Geophysics 3, No. 1.

WENNER, F. (1915): A method of measuring earth resistivity. US Bureau Stand. Ser. Paper 258, Bull. 12 (4).

— (1916): A method of measuring earth resistivity. US Bureau Stand. Bull. 12, No. 1.

WETZEL, W. W., und McMurry, H. V. (1937): A set of curves to assist in the interpretation of the three layer resistivity problem. Geophysics, Vol. 2.

b) Geologie

BADER, F. (1925): Beitrag zur Geologie des nordöstlichen Tafeljuras zwischen Aare und Rhein. Diss. Univ. Zürich.

Brandenberger, E. (1926): Zur Stratigraphie und Tektonik des östlichen Aargaus. Ecl. geol. Helv. 19, 3.

Braun, E. von (1953): Geologische und sedimentpetrographische Untersuchungen im Hochrheingebiet zwischen Zurzach und Eglisau. Ecl. geol. Helv. 46, 2.

BÜCHI, U. P. (1958): Zur Geologie der Oberen Süßwassermolasse (OSM) zwischen Tößtal und Glattal. Ecl. geol. Helv. 51, I. BUXTORF, A., und Nabholz, W. (1957): Erläuterungen zur Geol. Generalkarte der Schweiz 1:200000. Blatt Nr. 3 Zürich-

Glarus, Kümmerly & Frey, Bern.

Frei, R. (1912): Monographie des schweizerischen Deckenschotters. Beitr. geol. Karte Schweiz, (N. F.), 37. Lfg.

Geologische Exkursionen in der Umgebung von Zürich (1946). Herausgegeben von der Geologischen Gesellschaft in Zürich.

HEIM, ALB. (1919): Geologie der Schweiz, Bd. I.

Hofmann, F. (1957): Untersuchungen in der subalpinen und mittelländischen Molasse der Ostschweiz. Ecl. geol. Helv. 50, 2. Hug, J., und Beillick, A. (1934): Die Grundwasserverhältnisse des Kantons Zürich. Beitr. z. Geol. der Schweiz. Geotechn. Serie, Hydrologie, Nr. 1.

MÜHLBERG, F. (1901): Erläuterungen zur Geologischen Karte der Lägernkette, 1:25000. Ecl. geol. Helv. 7, 4.

- (1905): Erläuterungen zur Geol. Karte des unteren Aare-, Reuß- und Limmattales. Ecl. geol. Helv. 8, 5.

Notz, R. (1924): Geologische Untersuchungen an der östlichen Lägern. Diss. Univ. Zürich.

DE QUERVAIN, F., und GSCHWIND, M. (1949): Die nutzbaren Gesteine der Schweiz. 2. Auflage, Kümmerly & Frey, Bern. Schuppli, H. (1952): Erdölgeologische Untersuchungen in der Schweiz. IV. Teil. Beitr. z. Geol. der Schweiz. Geotechn. Serie, Lfg. 26, Teil 4.

Senftleben, G. (1923): Beiträge zur geologischen Erkenntnis der Westlägern und ihrer Umgebung. Mit geol. Karte 1:10000. Diss, Univ. Zürich.

STEIN, M. (1948): Morphologie des Glattales. Diss. Univ. Zürich.

Suter, H. (1939): Geologie von Zürich einschließlich seines Exkursionsgebietes. Mit geol. Karte 1:150000. AG Gebr. Leemann, Zürich.

- (1944): Glazialgeologische Studien im Gebiete zwischen Limmat, Glatt und Rhein. Ecl. geol. Helv. 37, 1.

Weber, A. (1930): Die Glazialgeologie des Tößtales und ihre Beziehung zur Diluvialgeschichte der Nordostschweiz. Mitt. Naturw. Ges. Winterthur, H. 17/18.

— (1934): Zur Glazialgeologie des Glattales. Ecl. geol. Helv. 27, 1.

c) Geologische Karten

BADER, F. (1925): Geologische Karte des Tafeljura zwischen Aare und Rhein. 1:25000. Diss. Univ. Zürich.

BUXTORF, A., CHRIST, P., und Nabholz, W. (1950): Geologische Generalkarte der Schweiz. 1:200000, Blatt 3 Zürich-Glarus.

Geotechnische Karte der Schweiz. 1: 200 000. Blatt 2, 1935.

Hug, J. (1905): Geologische Karte, Blatt Kaiserstuhl, 1:25000. Beitr. z. Geol. Karte Schweiz, Nr. 36.

KAUFMANN, J., und Moesch, C. (1913): Dufour Bl. VIII, Aarau, Luzern, Zug, Zürich. 1:100000. 2. Auflage.

MÜHLBERG, F. (1901): Geologische Karte der Lägernkette. 1:25000. Beitr. z. Geol. Karte Schweiz, Nr. 25.

— (1904): Geologische Karte des unteren Aare-, Reuß- und Limmattales. 1:25000. Beitr. z. Geol. Karte Schweiz, Nr. 31.

Notz, R. (1924): Geologische Karte der Ost-Lägern. 1:25000. Diss. Univ. Zürich.

SENFTLEBEN, G. (1923): Geologische Karte der West-Lägern. 1:10000. Diss. Univ. Zürich.

STEIN, M. (1948): Geologische Karte vom Glattal. Diss. Univ. Zürich.

SUTER, H. (1939): Geologische Karte des Kantons Zürich und der Nachbargebiete. 1:150000. Beil. Geol. Zürich, einschl. seines Exkursionsgebietes.

— (1944): Glaziale Schotter zwischen Limmat, Glatt und Rhein. 1:75000. Ecl. geol. Helv. 37, 1.

Weber, A. (1930): Geologische Karte des unteren Tößtales und unteren Glattales. 1:25000. Beil. H. 17/18, Mitt. Naturw. Ges. Winterthur.

Tabellarische Zusammenstellung der Meßresultate

Die Kolonnen der untenstehenden Tabellen bedeuten folgendes:

X und Y: Koordinaten der Auslagemitte in Metern

H: Meereshöhe der Auslagemitte in Metern

A: Azimut der Auslagerichtung (Norden 0°; Osten 90°)

4...324: Scheinbarer spezifischer Widerstand für 4 m, 12 m, 36 m, 108 m und 324 m Grundabstand in Ohmmetern

655 000 - 660 000

| X | Y | Н | A | 4 | 12 | 36 | 108 | 324 |
|---------|-----------------|-------------|-----|-------------|-----|-----|------------|-----|
| 249 330 | 658 380 | 40 8 | 167 | 96 | 70 | 62 | 85 | 56 |
| 250 080 | 657 140 | 423 | 170 | 290 | 480 | 657 | 700 | 152 |
| 250 430 | 656 160 | 409 | 149 | 210 | 336 | 508 | 428 | 70 |
| 250 500 | 656 690 | 412 | 119 | 460 | 580 | 703 | 585 | 100 |
| 251 120 | 656 290 | 400 | 110 | 160 | 324 | 615 | 530 | 110 |
| 251 290 | 656 900 | 392 | 117 | 117 | 264 | 480 | 550 | 97 |
| 251 490 | 658 220 | 431 | 28 | 560 | 830 | 857 | 741 | 386 |
| 251 570 | 657 39 0 | 415 | 93 | 473 | 760 | 772 | 615 | 184 |
| 251 740 | 657 700 | 420 | 82 | 306 | 625 | 640 | 525 | 136 |
| 251 950 | 657 120 | 410 | 100 | 10 8 | 228 | 300 | 145 | 63 |
| 251 990 | 658 015 | 425 | 78 | 180 | 87 | 45 | 4 7 | 65 |
| 251 990 | 659 760 | 414 | 58 | 137 | 187 | 283 | 265 | 52 |
| 252 020 | 657 570 | 418 | 96 | 116 | 147 | 343 | 157 | 73 |
| 252 110 | 657 000 | 412 | 99 | 54 | 100 | 79 | 67 | 64 |
| 252 150 | 658 950 | 417 | 9 | 215 | 435 | 597 | 367 | 135 |
| 252 320 | 659 760 | 413 | 99 | 340 | 405 | 435 | 104 | 63 |
| 252 640 | 659 070 | 410 | 170 | 67 | 153 | 193 | 230 | 80 |
| 252 660 | 659 690 | 423 | 93 | 42 | 34 | 44 | 64 | 97 |
| 252 850 | 656 4 40 | 530 | 103 | 29 | 46 | 92 | 160 | 54 |
| 252 900 | 658 060 | 505 | 102 | 30 | 37 | 41 | 34 | 41 |
| 253 060 | 657 480 | 530 | 110 | 27 | 27 | 45 | 41 | 40 |
| 253 140 | 659 740 | 410 | 50 | 113 | 280 | 403 | 250 | 116 |
| 253 370 | 658 090 | 416 | 114 | 50 | 34 | 52 | 79 | 75 |
| 253 400 | 658 770 | 406 | 168 | 225 | 450 | 540 | 119 | 58 |
| 253 530 | 659 490 | 405 | 45 | 270 | 219 | 102 | 90 | 87 |
| 253 980 | 658 770 | 401 | 168 | 222 | 416 | 270 | 110 | 50 |
| 254 300 | 658 270 | 394 | 165 | 224 | 240 | 275 | 124 | 50 |

| X | Y | Н | A | 4 | 12 | 36 | 108 | 324 |
|---------|-----------------|-----|--------|-----------|------|------|-----|-----|
| 254 310 | 657 120 | 475 | 160 | 32 | 36 | 46 | 42 | 58 |
| 254 380 | 659 420 | 399 | 94 | 194 | 400 | 520 | 200 | 86 |
| 254 920 | 659 400 | 393 | 136 | 430 | 730 | 805 | 267 | 58 |
| 255 050 | 658 210 | 389 | 168 | 106 | 160 | 127 | 67 | 44 |
| 255 130 | 659 810 | 394 | 144 | 163 | 280 | 653 | 318 | 61 |
| 255 210 | 657 050 | 400 | 139 | 64 | 76 | 66 | 50 | 44 |
| 255 400 | 657 760 | 388 | 70 | 98 | 159 | 136 | 67 | 65 |
| 255 800 | 657 620 | 388 | 78 | 53 | 100 | 132 | 90 | 88 |
| 256 000 | 659 310 | 388 | 95 | 366 | 712 | 370 | 84 | 93 |
| 256 030 | 656 560 | 423 | 114 | 116 | 210 | 410 | 642 | 220 |
| 256 130 | 659 160 | 400 | 102 | 90 | 187 | 171 | 89 | 74 |
| 256 190 | 657 530 | 401 | 59 | 66 | 112 | 94 | 43 | 70 |
| 256 430 | 655 800 | 436 | 3 | 72 | 160 | 360 | 525 | 224 |
| 256 550 | 655 210 | 365 | 11 | 178 | 358 | 332 | 243 | 44 |
| 256 670 | 659 100 | 435 | 117 | 23 | 25 | 32 | 33 | 49 |
| 256 800 | 656 860 | 448 | 30 | 130 | 200 | 360 | 600 | 380 |
| 257 560 | 657 920 | 379 | 11 | 150 | 162 | 185 | 102 | 31 |
| 257 590 | 656 290 | 375 | 80 | 85 | 138 | 195 | 67 | 42 |
| 257 730 | 657 750 | 418 | 15 | 180 | 203 | 422 | 619 | 210 |
| 257 950 | 658 400 | 375 | 6 | 81 | 175 | 147 | 80 | 52 |
| 258 230 | 659 360 | 364 | 147 | 133 | 280 | 194 | 58 | 42 |
| 259 880 | 659 800 | 332 | 51 | 240 | 300 | 124 | 63 | 40 |
| 264 520 | 659 750 | 345 | 157 | 1850 | 1565 | 1330 | 240 | 93 |
| 272 500 | 659 830 | 351 | 53 | 510 | 950 | 1210 | 750 | 680 |
| | | | 660 00 | 0 - 66500 | 00 | | | |
| 251 350 | 664 170 | 375 | 151 | 740 | 307 | 99 | 210 | 150 |
| 251 410 | 662 800 | 357 | 83 | 232 | 107 | 45 | 40 | 47 |
| 252 180 | 661 060 | 394 | 18 | 103 | 183 | 66 | 36 | 42 |
| 252 190 | 662 220 | 349 | 163 | 230 | 106 | 43 | 56 | 66 |
| 252 210 | 663 780 | 382 | 137 | 138 | 102 | 64 | 134 | 520 |
| 252 300 | 661 640 | 390 | 15 | 94 | 118 | 85 | 58 | 48 |
| 252 420 | 660 320 | 424 | 7 | 58 | 56 | 56 | 82 | 58 |
| 252 780 | 664 730 | 432 | 85 | 72 | 118 | 245 | 280 | 600 |
| 253 170 | 663 520 | 415 | 100 | 240 | 330 | 346 | 350 | 112 |
| 253 420 | 664 400 | 425 | 170 | 463 | 460 | 640 | 460 | 138 |
| 254 180 | 662 640 | 407 | 100 | 85 | 66 | 50 | 66 | 82 |
| 254 410 | 664 9 20 | 445 | 157 | 81 | 105 | 122 | 64 | 70 |
| 254 420 | 660 160 | 399 | 144 | 300 | 520 | 640 | 410 | 75 |
| 254 480 | 661 460 | 375 | 18 | 355 | 280 | 120 | 126 | 169 |
| 254 550 | 663 680 | 412 | 35 | 142 | 192 | 218 | 91 | 54 |
| 255 160 | 664 560 | 444 | 157 | 194 | 268 | 196 | 54 | 50 |
| 255 180 | 660 360 | 395 | 144 | 260 | 520 | 640 | 334 | 134 |
| 255 210 | 662 760 | 410 | 58 | 530 | 410 | 535 | 350 | 130 |
| 255 650 | 662 570 | 402 | 95 | 256 | 278 | 420 | 328 | 106 |
| | · · • | | | - | - | | | |

| X | Y | Н | A | 4 | 12 | 36 | 108 | 324 |
|------------------|---------|------------|-----|------|------|------|-----------|-----|
| 255 700 | 660 260 | 396 | 64 | 410 | 810 | 765 | 290 | 64 |
| 255 790 | 664 480 | 439 | 140 | 75 | 120 | 83 | 40 | 55 |
| 255 840 | 661 060 | 385 | 162 | 132 | 270 | 325 | 147 | 90 |
| 256 090 | 662 560 | 396 | 132 | 140 | 365 | 560 | 248 | 75 |
| 256 720 | 663 130 | 445 | 80 | 90 | 35 | 36 | 51 | 80 |
| 256 890 | 664 560 | 515 | 12 | 136 | 207 | 420 | 535 | 101 |
| 257 080 | 662 120 | 483 | 114 | 44 | 60 | 63 | 183 | 125 |
| 257 900 | 662 910 | 565 | 69 | 51 | 58 | 98 | 95 | 66 |
| 257 960 | 661 050 | 475 | 74 | 36 | 41 | 44 | 80 | 105 |
| 258 080 | 662 000 | 510 | 97 | 38 | 22 | 22 | 45 | 255 |
| 258 110 | 663 860 | 560 | 81 | 48 | 61 | 63 | 58 | 48 |
| 258 320 | 662 870 | 557 | 78 | 58 | 44 | 48 | 41 | 27 |
| 258 730 | 662 380 | 549 | 113 | 90 | 100 | 79 | 102 | 176 |
| 259 420 | 661 480 | 525 | 142 | 242 | 127 | 87 | 127 | 190 |
| 259 940 | 663 350 | 376 | 57 | 350 | 623 | 680 | 333 | 335 |
| 260 460 | 663 040 | 374 | 118 | 385 | 620 | 587 | 295 | 154 |
| 261 000 | 664 100 | 470 | 113 | 64 | 36 | 41 | 55 | 58 |
| 261 370 | 661 130 | 367 | 115 | 447 | 634 | 488 | 98 | 63 |
| 261 640 | 663 160 | 500 | 95 | 25 | 35 | 59 | 68 | 99 |
| 261 710 | 664 390 | 604 | 100 | 73 | 70 | 142 | 36 | 42 |
| 262 330 | 663 460 | 584 | 5 | 106 | 69 | 131 | 312 | 187 |
| 262 790 | 660 440 | 353 | 7 | 706 | 1110 | 727 | 85 | |
| 262 980 | 662 520 | 540 | 17 | 43 | 47 | 31 | 39 | 88 |
| 263 060 | 662 000 | 522 | 26 | 90 | 88 | 38 | 76 | 109 |
| 263 550 | 663 820 | 560 | 117 | 467 | 507 | 452 | 235 | 148 |
| 263 690 | 661 490 | 495 | 20 | 133 | 92 | 113 | 210 | 175 |
| 263 710 | 664 790 | 500 | 36 | 112 | 93 | 72 | 60 | 103 |
| 264 150 | 664 240 | 520 | 1 | 68 | 98 | 140 | 158 | 123 |
| 264 280 | 660 930 | 360 | 27 | 573 | 805 | 830 | 473 | 40 |
| 264 530 | 663 500 | 448 | 50 | 60 | 75 | 100 | 152 | 166 |
| 264 750 | 662 750 | 428 | 85 | 66 | 144 | 266 | 502 | 420 |
| 264 880 | 663 580 | 404 | 40 | 118 | 213 | 435 | 507 | 90 |
| 264 930 | 660 450 | 354 | 8 | 1270 | 1780 | 1420 | 446 | 39 |
| 265 270 | 660 000 | 353 | 87 | 1040 | 1950 | 1950 | 510 | 48 |
| 265 320 | 662 610 | 427 | 126 | 46 | 67 | 147 | 307 | 175 |
| 266 020 | 661 220 | 357 | 171 | 100 | 107 | 248 | 1350 | 80 |
| 266 070 | 663 195 | 414 | 69 | 61 | 135 | 296 | 319 | 110 |
| 266 140 | 660 680 | 356 | 7 | 408 | 1010 | 1150 | 325 | 104 |
| 266 470 | 662 545 | 416 | 59 | 67 | 125 | 304 | 600 | 308 |
| 266 480 | 663 200 | 406 | 145 | 68 | 145 | 363 | 615 | 298 |
| 266 570 | 660 070 | 342 | 133 | 1180 | 2080 | 1430 | 200 | 205 |
| 267 C O O | 662 360 | 412 | 42 | 69 | 105 | 250 | 557 | 380 |
| 267 070 | 663 510 | 408 | 53 | 59 | 90 | 230 | 536 | 290 |
| 267 100 | 660 040 | 340 | 48 | 1015 | 1980 | 1580 | 127 | 300 |
| 267 520 | 661 480 | 370 | 151 | 1160 | 1640 | 1355 | 590 | 29 |
| 268 020 | | | | | | | | |
| | 662 380 | 402 532 | 128 | 104 | 188 | 480 | 750 50 | 220 |
| 268 100 | 664 900 | 532 | 38 | 22 | 24 | 34 | 50 | 55 |

| X | Y | Н | Α | 4 | 12 | 36 | 108 | 324 |
|---------|---------|-----|---------|------------|-----|-----|----------------|-----|
| 268 590 | 662 930 | 375 | 111 | 30 | 28 | 36 | 36 | 22 |
| 269 710 | 664 260 | 516 | 78 | 88 | 65 | 63 | 50 | 42 |
| 269 870 | 662 670 | 486 | 49 | 32 | 43 | 60 | 55 | 33 |
| 270 420 | 664 890 | 348 | 141 | 19 | 38 | 66 | 35 | 24 |
| 270 790 | 661 590 | 420 | 127 | 18 | 26 | 20 | 15 | 34 |
| 271 410 | 662 260 | 503 | 179 | 66 | 31 | 32 | 44 | 39 |
| 271 580 | 661 420 | 433 | 45 | 32 | 29 | 26 | 27 | 44 |
| 271 680 | 663 570 | 356 | 131 | 23 | 21 | 24 | 31 | 33 |
| 271 760 | 660 700 | 404 | 148 | 225 | 260 | 476 | 162 | 169 |
| 271 800 | 660 080 | 326 | 116 | 117 | 346 | 495 | 210 | 177 |
| 272 350 | 664 240 | 324 | 6 | 634 | 426 | 177 | 40 | 95 |
| 272 570 | 664 090 | 324 | 7 | 550 | 260 | 24 | 42 | 108 |
| 272 720 | 661 920 | 378 | 92 | 22 | 33 | 70 | 153 | 170 |
| 272 740 | 660 730 | 356 | 173 | 93 | 190 | 444 | 410 | 300 |
| 272 780 | 663 920 | 322 | 96 | 236 | 187 | 28 | 21 | 54 |
| 273 210 | 663 370 | 320 | 56 | 84 | 118 | 93 | 103 | 162 |
| 273 660 | 661 080 | 344 | 65 | 400 | 570 | 940 | 1300 | 580 |
| | | | 665 000 | 0 - 670 00 | 00 | | | |
| 251 950 | 667 950 | 666 | 154 | 55 | 83 | 158 | 234 | 117 |
| 252 030 | 665 480 | 412 | 132 | 46 | 72 | 122 | 134 | 78 |
| 252 040 | 666 700 | 540 | 150 | 56 | 114 | 198 | 100 | 66 |
| 252 240 | 668 450 | 645 | 66 | . 48 | 80 | 86 | 79 | 71 |
| 253 110 | 667 050 | 660 | 131 | 43 | 43 | 81 | 193 | 148 |
| 253 130 | 666 440 | 575 | 144 | 60 | 37 | 48 | 53 | 83 |
| 753 220 | 669 360 | 415 | 151 | 42 | 103 | 168 | 88 | 48 |
| 253 250 | 665 540 | 475 | 139 | 163 | 230 | 302 | 146 | 38 |
| 253 250 | 669 720 | 398 | 136 | 60 | 123 | 113 | 74 | 30 |
| 253 380 | 667 120 | 699 | 139 | 35 | 53 | 82 | 141 | 190 |
| 254 300 | 666 400 | 671 | 134 | 300 | 161 | 124 | 175 | 140 |
| 254 370 | 667 950 | 423 | 132 | 314 | 315 | 287 | 197 | 53 |
| 254 670 | 667 960 | 406 | 135 | 72 | 135 | 131 | 184 | 220 |
| 254 980 | 669 030 | 422 | 123 | 39 | 64 | 112 | 213 | 184 |
| 255 040 | 668 130 | 390 | 141 | 200 | 332 | 495 | 252 | 54 |
| 255 480 | 665 330 | 565 | 156 | . 50 | 52 | 49 | 46 | 62 |
| 255 750 | 666 760 | 404 | 153 | 24 | 30 | 40 | 33 | 36 |
| 255 990 | 668 290 | 412 | 117 | 350 | 446 | 533 | 400 | 54 |
| 256 150 | 668 840 | 420 | 141 | 116 | 217 | 308 | 205 | 118 |
| 258 130 | 668 830 | 448 | 82 | 42 | 38 | 31 | 30 | 47 |
| 258 210 | 669 610 | 480 | 84 | 20 | 20 | 22 | 30 | 47 |
| 259 020 | 667 400 | 595 | 78 | 16 | 16 | 24 | 30 | 47 |
| 259 020 | 669 530 | 675 | 85 | 33 | 40 | 49 | 73 | |
| 259 530 | 667 960 | 570 | 67 | 17 | 20 | 25 | 30 | 45 |
| 259 930 | 667 860 | 508 | 50 | 39 | 27 | 27 | 33 | 34 |
| 260 705 | 666 650 | 484 | 33 | 49 | 52 | 68 | 58 | 38 |
| | | | | ., | | | - - | - • |

| X | Y | Н | Α | 4 | 12 | 36 | 108 | 324 |
|---------|-----------------|-----|--------|-----------|-----|-----|-----|-----|
| 260 750 | 667 530 | 510 | 41 | 130 | 103 | 95 | 69 | 33 |
| 260 880 | 668 770 | 500 | 80 | 42 | 40 | 57 | 52 | 42 |
| 261 100 | 665 610 | 620 | 139 | 47 | 75 | 132 | 278 | 600 |
| 261 150 | 669 970 | 531 | 75 | 85 | 69 | 62 | 49 | 56 |
| 261 450 | 666 290 | 540 | 172 | 67 | 64 | 53 | 45 | 65 |
| 261 830 | 669 760 | 528 | 164 | 212 | 206 | 130 | 70 | 35 |
| 261 850 | 667 420 | 463 | 160 | 50 | 47 | 62 | 73 | 49 |
| 262 420 | 668 850 | 458 | 55 | 55 | 99 | 136 | 96 | 43 |
| 262 430 | 665 020 | 605 | 170 | 47 | 56 | 101 | 267 | 350 |
| 262 730 | 667 370 | 425 | 159 | 57 | 52 | 38 | 36 | 49 |
| 263 050 | 666 450 | 510 | 15 | 44 | 44 | 74 | 87 | 58 |
| 263 140 | 669 220 | 471 | 21 | 40 | 41 | 51 | 73 | 45 |
| 263 420 | 667 950 | 460 | 150 | 67 | 65 | 114 | 152 | 47 |
| 263 480 | 665 940 | 485 | 32 | 60 | 51 | 42 | 58 | 78 |
| 263 630 | 668 47 0 | 502 | 94 | 60 | 64 | 64 | 75 | 57 |
| 264 400 | 667 770 | 502 | 27 | 48 | 57 | 42 | 49 | 52 |
| 264 560 | 665 370 | 430 | 112 | 64 | 106 | 197 | 230 | 133 |
| 264 720 | 666 140 | 714 | 115 | 43 | 57 | 47 | 52 | 80 |
| 265 110 | 666 610 | 470 | 95 | 45 | 48 | 40 | 54 | 81 |
| 265 210 | 668 030 | 590 | 125 | 370 | 457 | 166 | 78 | 95 |
| 265 280 | 669 260 | 590 | 10 | 400 | 335 | 434 | 220 | 92 |
| 265 680 | 665 640 | 500 | 63 | 130 | 150 | 157 | 102 | 103 |
| 266 000 | 669 660 | 584 | 26 | 464 | 513 | 860 | 726 | 110 |
| 266 220 | 667 560 | 569 | 60 | 120 | 75 | 129 | 147 | 112 |
| 266 690 | 666 000 | 577 | 73 | 200 | 222 | 234 | 166 | 115 |
| 266 950 | 667 980 | 530 | 93 | 58 | 103 | 140 | 130 | 97 |
| 267 380 | 668 180 | 515 | 117 | 113 | 100 | 80 | 124 | 88 |
| 267 380 | 669 910 | 545 | 129 | 46 | 50 | 62 | 62 | 87 |
| 267 530 | 667 460 | 460 | 112 | 45 | 37 | 31 | 60 | 83 |
| 267 780 | 665 370 | 530 | 46 | 15 | 15 | 22 | 45 | 56 |
| 267 950 | 669 920 | 430 | 159 | 39 | 25 | 24 | 38 | 99 |
| 268 470 | 669 850 | 437 | 108 | 195 | 253 | 235 | 324 | 210 |
| 269 000 | 667 560 | 344 | 100 | 154 | 275 | 260 | 144 | 87 |
| 269 810 | 665 680 | 342 | 131 | 200 | 180 | 65 | 21 | 16 |
| | | | 670 00 | 0 - 67500 | 00 | | | |
| 249 700 | 674 570 | 403 | 79 | 93 | 216 | 203 | 92 | 60 |
| 251 230 | 671 440 | 400 | 140 | 45 | 60 | 72 | 62 | 50 |
| 251 470 | 671 000 | 409 | 134 | 49 | 70 | 86 | 79 | 58 |
| 251 690 | 674 860 | 404 | 70 | 92 | 158 | 193 | 111 | 51 |
| 251 975 | 672 060 | 385 | 138 | 43 | 88 | 100 | 71 | 60 |
| 252 105 | 671 340 | 391 | 122 | 112 | 206 | 172 | 85 | 57 |
| 252 230 | 674 140 | 404 | 103 | 110 | 235 | 250 | 78 | 56 |
| 252 420 | 672 990 | 382 | 146 | 108 | 98 | 47 | 57 | 55 |
| 252 440 | 673 210 | 383 | 143 | 116 | 58 | 40 | 70 | 62 |

| X | Y | Н | A | 4 | 12 | 36 | 108 | 324 |
|---------|----------------|-----|-----|-----|-----|-----|-----|-----|
| 252 530 | 672 340 | 382 | 163 | 45 | 56 | 43 | 61 | 38 |
| 252 880 | 670 800 | 396 | 137 | 120 | 163 | 216 | 89 | 63 |
| 252 910 | 671 610 | 391 | 130 | 584 | 391 | 119 | 60 | 45 |
| 253 510 | 670 580 | 393 | 129 | 354 | 585 | 288 | 100 | 115 |
| 253 720 | 673 810 | 497 | 117 | 27 | 39 | 52 | 68 | 57 |
| 253 860 | 671 190 | 400 | 116 | 183 | 127 | 98 | 58 | 43 |
| 255 250 | 672 180 | 451 | 97 | 48 | 65 | 63 | 55 | 42 |
| 255 290 | 674 830 | 424 | 106 | 43 | 55 | 82 | 85 | 52 |
| 255 350 | 673 830 | 437 | 110 | 42 | 56 | 77 | 74 | 56 |
| 255 380 | 670 710 | 423 | 87 | 46 | 87 | 163 | 212 | 84 |
| 255 730 | 672 060 | 440 | 93 | 58 | 142 | 290 | 285 | 115 |
| 256 020 | 673 090 | 419 | 96 | 43 | 50 | 40 | 64 | 71 |
| 256 050 | 674 520 | 420 | 80 | 74 | 78 | 59 | 38 | 49 |
| 256 110 | 671 090 | 426 | 72 | 45 | 94 | 192 | 283 | 108 |
| 256 190 | 672 270 | 419 | 97 | 29 | 30 | 52 | 105 | 87 |
| 256 260 | 673 300 | 419 | 98 | 30 | 39 | 36 | 41 | 48 |
| 256 390 | 670 480 | 435 | 15 | 43 | 80 | 156 | 168 | 52 |
| 256 670 | 672 860 | 419 | 94 | 28 | 27 | 36 | 57 | 46 |
| 256 670 | 674 290 | 436 | 85 | 59 | 63 | 66 | 50 | 47 |
| 256 950 | 670 070 | 445 | 90 | 46 | 80 | 104 | 77 | 42 |
| 257 090 | 670 770 | 447 | 79 | 54 | 79 | 81 | 64 | 80 |
| 257 290 | 673 480 | 492 | 120 | 59 | 57 | 55 | 65 | 52 |
| 257 440 | 670 530 | 465 | 93 | 22 | 47 | 70 | 76 | 56 |
| 258 150 | 673 520 | 595 | 90 | 20 | 20 | 29 | 48 | 49 |
| 258 250 | 671 830 | 485 | 90 | 25 | 31 | 34 | 39 | 39 |
| 258 990 | 674 890 | 576 | 33 | 42 | 58 | 54 | 45 | |
| 259 450 | 673 270 | 817 | 90 | 41 | 67 | 80 | 220 | |
| 259 480 | 674 410 | 710 | 79 | 48 | 55 | 97 | 218 | 203 |
| 259 590 | 673 350 | 740 | 98 | 32 | 41 | 41 | 50 | 54 |
| 259 830 | 672 400 | 700 | 98 | 24 | 21 | 20 | 26 | 45 |
| 260 020 | 672 210 | 650 | 96 | 64 | 67 | 64 | 66 | |
| 260 420 | 674 570 | 485 | 114 | 180 | 256 | 156 | 79 | 48 |
| 260 480 | 673 820 | 498 | 107 | 42 | 57 | 50 | 36 | 40 |
| 260 790 | 670 850 | 580 | 166 | 55 | 54 | 61 | 55 | 136 |
| 260 810 | 673 530 | 468 | 105 | 120 | 207 | 184 | 72 | 46 |
| 261 460 | 672 530 | 460 | 106 | 38 | 62 | 63 | 51 | 49 |
| 261 730 | 671 510 | 452 | 110 | 30 | 38 | 36 | 37 | 38 |
| 261 770 | 671 370 | 452 | 110 | 25 | 35 | 37 | 39 | 43 |
| 261 770 | 673 830 | 522 | 92 | 21 | 26 | 31 | 40 | 45 |
| 262 190 | 671 560 | 478 | 96 | 50 | 68 | 41 | 42 | 32 |
| 262 450 | 674 720 | 575 | 117 | 50 | 31 | 45 | 64 | 43 |
| 262 790 | 672 060 | 627 | 84 | 180 | 182 | 252 | 155 | 127 |
| 263 000 | 673 870 | 634 | 161 | 160 | 121 | 223 | 440 | 260 |
| 263 330 | 670 530 | 514 | 157 | 31 | 31 | 40 | 56 | 57 |
| 263 560 | 672 245 | 568 | 166 | 284 | 155 | 105 | 72 | 54 |
| 263 760 | 671 340 | 605 | 41 | 208 | 164 | 205 | 184 | 96 |
| 263 860 | 673 940 | 605 | 151 | 215 | 472 | 920 | 976 | 465 |
| 200 000 | 315 570 | 003 | 101 | 0 | | | • | |

| X | Y | Н | Α | 4 | 12 | 36 | 108 | 324 |
|--------------------|--------------------|------------|---------|------------|-----------|------------|------|----------|
| 263 950 | 670 020 | 475 | 30 | 60 | 93 | 64 | 79 | 51 |
| 264 230 | 672 960 | 562 | 121 | 210 | 212 | 104 | 78 | 71 |
| 264 515 | 672 040 | 507 | 129 | 103 | 164 | 112 | 56 | 54 |
| 264 850 | 673 150 | 622 | 139 | 170 | 64 | 108 | 366 | 532 |
| 264 850 | 674 710 | 450 | 133 | 80 | 68 | 61 | 68 | 52 |
| 264 890 | 670 025 | 545 | 30 | 77 | 43 | 75 | 88 | 64 |
| 264 940 | 670 500 | 530 | 14 | 46 | 55 | 70 | 68 | 65 |
| 265 570 | 671 340 | 505 | 154 | 89 | 100 | 152 | 123 | 39 |
| 266 230 | 674 110 | 562 | 106 | 329 | 300 | 600 | 1030 | 455 |
| 266 250 | 671 350 | 498 | 152 | 38 | 43 | 36 | 43 | 52 |
| 266 370 | 672 600 | 498 | 161 | 102 | 79 | 139 | 173 | 70 |
| 266 660 | 670 540 | 475 | 6 | 93 | 64 | 67 | 50 | 74 |
| 267 130 | 671 950 | 528 | 138 | 260 | 320 | 584 | 590 | 109 |
| 267 300 | 673 030 | 405 | 4 | 62 | 69 | 39 | 40 | 55 |
| 267 380 | 674 610 | 420 | 12 | 22 | 27 | 31 | 31 | 71 |
| 267 760 | 670 760 | 515 | 112 | 96 | 194 | 440 | 665 | 105 |
| 268 190 | 674 280 | 380 | 100 | 260 | 620 | 512 | 227 | 129 |
| 268 260 | 670 870 | 424 | 103 | 50 | 53 | 73 | 113 | 120 |
| 268 650 | 672 250 | 442 | 24 | 85 | 84 | 162 | 382 | 385 |
| | | | 675 000 | 0 - 680 00 | 00 | | | |
| 251 040 | 675 830 | 391 | 45 | 77 | 110 | 92 | 73 | 55 |
| 252 260 | 677 430 | 498 | 83 | 30 | 30 | 25 | 40 | 52 |
| 252 290 | 675 810 | 420 | 120 | 42 | 92 | 9 2 | 65 | 39 |
| 252 350 | 678 820 | 524 | 175 | 29 | 29 | 24 | 10 | 21 |
| 253 170 | 676 310 | 537 | 92 | 39 | 49 | 46 | 35 | 43 |
| 253 200 | 678 700 | 457 | 108 | 65 | 101 | 63 | 29 | 36 |
| 253 610 | 679 250 | 442 | 130 | 77 | 81 | 68 | 93 | 112 |
| 254 440 | 676 360 | 437 | 115 | 56 | 66 | 58 | 60 | 53 |
| 254 630 | 679 090 | 442 | 105 | 93 | 90 | 113 | 91 | 63 |
| 254 810 | 676 680 | 433 | 117 | 184 | | | 92 | |
| 254 910 254 910 | 679 840 | 454 | 117 | 53 | 168 47 | 92 23 | | 59 52 |
| 255 000 | 677 840 | 435 | 139 | 150 | | 32 | 35 | 53 |
| 255 370 | 676 120 | 433 | 171 | 101 | 173 87 | 203 | 134 | 50 |
| 255 370 255 450 | 678 000 | 423 | | | | 60 | 64 | 61 |
| 255 500 | 675 400 | | 109 | 87 | 103 | 67 137 | 62 | 67 |
| 255 500 255 640 | | 425 | 175 | 71 | 98 | 137 | 33 | 62 |
| 255 980 255 980 | 676 910 | 432 | 134 | 258 | 164 | 151 | 98 | 54 |
| | 678 280 | 478 | 109 | 30 | 30 | 36 •0 | 44 | 54 |
| 256 330 256 450 | 676 340 677 730 | 432 | 97 ° | 61 | 74 55 | 58 | 62 | 66 |
| 256 450 256 480 | 677 7 30 | 470 510 | 8 | 48 | 55 40 | 51 52 | 48 | |
| 256 480 256 670 | 679 120 | 510 | 19 | 32 | 40 | 52 | 43 | 54 |
| 256 670 357 370 | 679 880 | 466 | 160 | 44 | 42 | 37 | 41 | 44 |
| 257 270 | 676 700 | 528 | 32 | 46 | 81 | 18 | 50 | _ |
| 257 280 | 677 340 | 485 | 170 | 44 | 37 | 39 | 51 | 63 |
| 257 660 | 678 860 | 465 | 4 | 38 | 48 | 47 | 52 | 51 |

| x | Y | н | Α | 4 | 12 | 36 | 108 | 324 |
|---------|---------|------|-----|-----|-----|-----|-----|-----|
| 257 850 | 676 080 | 538 | 155 | 32 | 37 | 40 | 50 | |
| 258 000 | 677 300 | 467 | 135 | 51 | 62 | 56 | 73 | |
| 258 330 | 679 860 | 437 | 146 | 81 | 96 | 112 | 76 | 42 |
| 258 730 | 677 500 | 442 | 157 | 60 | 65 | 82 | 51 | 44 |
| 258 760 | 675 740 | 560 | 162 | 77 | 64 | 64 | 65 | 53 |
| 258 800 | 678 780 | 423 | 179 | 75 | 90 | 85 | 52 | |
| 259 290 | 676 020 | 515 | 54 | 136 | 88 | 65 | 62 | |
| 259 440 | 675 470 | 545 | 77 | 61 | 71 | 56 | 42 | 68 |
| 259 470 | 677 530 | 418 | 105 | 43 | 49 | 42 | 36 | 40 |
| 259 640 | 678 160 | 414 | 108 | 40 | 46 | 64 | 47 | 45 |
| 259 720 | 677 710 | 414 | 80 | 25 | 30 | 48 | 65 | 59 |
| 259 930 | 677 730 | 413 | 59 | 40 | 37 | 40 | 47 | 50 |
| 260 000 | 678 450 | 411 | 172 | 26 | 17 | 17 | 17 | 41 |
| 260 100 | 676 920 | 423 | 144 | 76 | 69 | 47 | 70 | 87 |
| 260 150 | 677 650 | 413 | 40 | 25 | 28 | 33 | 42 | 52 |
| 260 210 | 676 500 | 425 | 139 | 55 | 60 | 70 | 120 | 60 |
| 260 240 | 679 350 | 428 | 167 | 90 | 78 | 50 | 38 | 39 |
| 260 510 | 676 730 | 420 | 90 | 35 | 40 | 44 | 46 | 53 |
| 260 800 | 677 040 | 420 | 90 | 39 | 70 | 72 | 37 | 43 |
| 260 870 | 678 840 | 410 | 62 | 24 | 27 | 30 | 36 | 38 |
| 261 000 | 677 920 | 413 | 27 | 29 | 27 | 34 | 29 | 32 |
| 261 200 | 675 500 | 464 | 155 | 34 | 53 | 69 | 47 | 35 |
| 261 520 | 675 280 | 485 | 85 | 61 | 89 | 109 | 74 | 42 |
| 261 890 | 677 330 | 474 | 44 | 72 | 89 | 88 | 60 | 33 |
| 262 020 | 678 840 | 414 | 141 | 12 | 13 | 14 | 60 | 30 |
| 262 170 | 677 050 | 495 | 27 | 64 | 69 | 93 | 96 | 38 |
| 262 240 | 678 110 | 438 | 6 | 60 | 74 | 64 | 37 | 31 |
| 262 700 | 675 660 | 508 | 130 | 65 | 74 | 72 | 62 | 42 |
| 262 900 | 679 060 | 420 | 174 | 80 | 64 | 70 | 46 | 33 |
| 262 920 | 678 540 | 415 | 171 | 32 | 50 | 82 | 65 | 24 |
| 263 000 | 676 870 | 517 | 41 | 83 | 116 | 180 | 190 | 48 |
| 263 480 | 675 090 | 509 | 37 | 167 | 320 | 490 | 193 | 36 |
| 263 580 | 678 640 | 420 | 53 | 130 | 179 | 267 | 163 | 42 |
| 263 710 | 677 690 | 429 | 165 | 278 | 274 | 130 | 47 | 30 |
| 263 900 | 676 010 | 488 | 152 | 78 | 83 | 83 | 54 | 34 |
| 264 570 | 678 390 | 417 | 75 | 141 | 138 | 187 | 305 | 108 |
| 264 730 | 676 000 | 562 | 136 | 232 | 144 | 133 | 308 | 313 |
| 264 940 | 675 360 | 515 | 146 | 121 | 201 | 353 | 241 | 80 |
| 265 340 | 678 080 | 424 | 30 | 85 | 205 | 411 | 641 | 86 |
| 265 590 | 675 960 | 620 | 112 | 296 | 463 | 765 | 575 | 260 |
| 265 920 | 678 570 | 414 | 2 | 130 | 246 | 232 | 124 | 47 |
| 266 000 | 679 820 | 446 | 154 | 170 | 182 | 397 | 612 | 210 |
| 266 030 | 676 050 | 622 | 123 | 107 | 124 | 267 | 410 | 477 |
| 266 560 | 677 550 | 420 | 169 | 37 | 36 | 41 | 47 | 92 |
| 266 860 | 677 900 | 405 | 166 | 103 | 271 | 450 | 113 | 43 |
| 266 900 | 678 500 | 409 | 28 | 230 | 480 | 840 | 570 | 97 |
| 267 090 | 676 390 | 460 | 127 | 43 | 33 | 48 | 65 | 54 |
| 401 U7U | 070 370 | -700 | 141 | 1.5 | | | | |

| _x | Y | Н | A | 4 | 12 | 36 | 108 | 324 |
|------------------|-----------------|-----|---------|------------|------|------------|------|-----|
| 267 160 | 678 020 | 403 | 166 | 310 | 590 | 1065 | 605 | 320 |
| 267 320 | 679 310 | 455 | 135 | 517 | 804 | 1358 | 1715 | 688 |
| 267 370 | 678 710 | 405 | 127 | 184 | 427 | 616 | 214 | 49 |
| 268 450 | 675 950 | 370 | 74 | 420 | 780 | 1000 | 500 | 49 |
| 268 740 | 678 760 | 347 | 125 | 510 | 270 | 125 | 48 | 46 |
| 268 860 | 676 860 | 370 | 77 | 850 | 1400 | 1480 | 580 | 600 |
| 268 880 | 675 84 0 | 367 | 47 | 480 | 950 | 1115 | 300 | 122 |
| 270 140 | 679 410 | 359 | 79 | 200 | 211 | 219 | 51 | 48 |
| | | | 680 000 |) - 6850(| 00 | | | |
| 254 090 | 680 900 | 438 | 115 | 23 | 40 | 46 | 35 | 57 |
| 254 150 | 682 070 | 457 | 109 | 35 | 36 | 36 | 30 | 61 |
| 254 960 | 682 280 | 480 | 175 | 27 | 20 | 28 | 26 | 34 |
| 255 1 0 0 | 680 530 | 495 | 92 | 34 | 37 | 42 | 40 | |
| 255 240 | 682 800 | 438 | 150 | 45 | 39 | 27 | 29 | 41 |
| 255 370 | 681 080 | 501 | 44 | 39 | 46 | 47 | 42 | 28 |
| 256 040 | 681 590 | 460 | 144 | 37 | 39 | 38 | 32 | 37 |
| 256 750 | 680 340 | 450 | 166 | 62 | 70 | 44 | 35 | 47 |
| 257 000 | 680 960 | 454 | 164 | 60 | 48 | 36 · | 63 | 42 |
| 257 480 | 684 330 | 421 | 100 | 71 | 59 | 58 | 70 | 54 |
| 257 840 | 681 800 | 419 | 173 | 25 | 30 | 49 | 67 | 67 |
| 257 900 | 682 340 | 418 | 161 | 30 | 50 | 57 | 56 | 53 |
| 257 970 | 684 790 | 424 | 136 | 50 | 56 | 76 | 78 | 64 |
| 258 000 | 684 150 | 421 | 32 | 56 | 45 | 75 | 67 | 32 |
| 258 100 | 680 580 | 462 | 156 | 39 | 35 | 42 | 56 | 59 |
| 258 210 | 681 510 | 418 | 166 | 21 | 26 | 41 | 62 | 58 |
| 258 580 | 682 660 | 418 | 145 | 37 | 35 | 40 | 62 | 54 |
| 258 700 | 684 450 | 437 | 148 | 42 | 63 | 102 | 90 | 63 |
| 259 050 | 683 290 | 418 | 113 | 29 | 33 | 37 | 53 | 54 |
| 259 100 | 683 700 | 420 | 147 | 38 | 29 | 40 | 47 | 53 |
| 259 460 | 682 600 | 427 | 21 | 44 | 67 | 98 | 82 | 49 |
| 259 470 | 682 910 | 420 | 23 | 23 | 30 | 47 | 59 | 46 |
| 259 510 | 682 380 | 438 | 22 | 68 | 82 | 115 | 93 | 58 |
| 259 630 | 683 820 | 440 | 148 | 83 | 77 | 53 | 84 | 62 |
| 259 840 | 684 750 | 521 | 127 | 38 | 26 | 34 | 38 | 44 |
| 260 370 | 682 520 | 435 | 17 | 54 | 53 | 75 | 84 | 43 |
| 260 450 | 680 890 | 430 | 17 | 325 | 222 | 195 | 128 | 44 |
| 260 480 | 681 630 | 442 | 150 | 128 | 190 | 323 | 121 | 48 |
| 261 260 | 683 910 | 480 | 119 | 44 | 19 | 73 | 54 | 47 |
| 261 450 | 682 400 | 429 | 85 | 176 | 288 | 342 | 100 | 45 |
| 261 600 | 680 180 | 420 | 12 | 7 4 | 194 | 273 | 120 | 33 |
| 261 600 | 680 690 | 422 | 22 | 216 | 340 | 335 | 121 | 27 |
| 261 610 | 684 210 | 477 | 140 | 58 | 55 | 7 2 | 55 | 37 |
| 261 950 | 682 480 | 423 | 140 | 420 | 410 | 303 | 90 | 38 |
| 262 040 | 681 660 | 435 | 26 | 215 | 320 | 415 | 275 | 57 |

| X | Υ | Н | Α | 4 | 12 | 36 | 108 | 324 |
|---------|-----------------|-----|--------|----------|------|-----|------|-----|
| 262 430 | 682 630 | 418 | 137 | 100 | 60 | 50 | 44 | 35 |
| 262 750 | 683 380 | 420 | 165 | 43 | 44 | 45 | 47 | 42 |
| 262 830 | 684 420 | 510 | 37 | 36 | 28 | 37 | 49 | 42 |
| 262 860 | 680 960 | 411 | 65 | 144 | 190 | 215 | 80 | 44 |
| 262 900 | 682 320 | 415 | 50 | 35 | 35 | 50 | 67 | 34 |
| 263 290 | 680 040 | 418 | 156 | 129 | 188 | 164 | 52 | 29 |
| 263 560 | 680 420 | 414 | 160 | 38 | 57 | 105 | 78 | 38 |
| 264 210 | 684 480 | 525 | 119 | 93 | 93 | 56 | 52 | 54 |
| 264 510 | 682 020 | 428 | 131 | 600 | 706 | 580 | 885 | 177 |
| 264 810 | 680 500 | 433 | 30 | 155 | 242 | 282 | 337 | 43 |
| 264 930 | 683 160 | 438 | 178 | 360 | 400 | 350 | 86 | 30 |
| 265 310 | 682 940 | 436 | 178 | 94 | 224 | 332 | 283 | 135 |
| 265 430 | 684 460 | 525 | 146 | 23 | 42 | 65 | 82 | 47 |
| 265 580 | 682 420 | 432 | 169 | 660 | 320 | 195 | 72 | 240 |
| 265 700 | 680 710 | 439 | 37 | 680 | 540 | 600 | 751 | 188 |
| 265 990 | 683 350 | 447 | 147 | 40 | 82 | 116 | 96 | 35 |
| 266 120 | 682 080 | 434 | 10 | 735 | 1950 | 685 | 650 | 185 |
| 266 410 | 680 430 | 433 | 68 | 180 | 194 | 396 | 615 | 660 |
| 266 540 | 684 390 | 412 | 142 | 41 | 103 | 196 | 86 | 36 |
| 266 850 | 682 880 | 429 | 133 | 250 | 460 | 430 | 78 | 42 |
| 266 930 | 682 150 | 425 | 170 | 322 | 615 | 755 | 1130 | 108 |
| 267 710 | 681 140 | 411 | 115 | 253 | 544 | 807 | 355 | 46 |
| 267 930 | 682 140 | 425 | 164 | 55 | 140 | 236 | 85 | 38 |
| 268 090 | 680 860 | 410 | 115 | 36 | 86 | 167 | 168 | 32 |
| 268 740 | 681 440 | 400 | 177 | 70 | 64 | 86 | 52 | 32 |
| 268 830 | 683 060 | 381 | 144 | 47 | 75 | 87 | 40 | 37 |
| 269 140 | 682 140 | 395 | 73 | 287 | 581 | 687 | 99 | 43 |
| 269 230 | 680 480 | 520 | 117 | 225 | 204 | 197 | 155 | 135 |
| | | | 685.00 | 0 - 6900 | 00 | | | |
| | | | | | | | | |
| 260 800 | 685 760 | 574 | 37 | 32 | 32 | 35 | 34 | 45 |
| 261 340 | 685 540 | 574 | 67 | 24 | 26 | 36 | 45 | 48 |
| 262 210 | 686 650 | 429 | 156 | 30 | 50 | 66 | 50 | 36 |
| 262 330 | 685 390 | 579 | 118 | 20 | 30 | 49 | 67 | 48 |
| 263 270 | 687 4 00 | 429 | 20 | 166 | 320 | 221 | 77 | 39 |
| 264 410 | 686 540 | 420 | 112 | 304 | 425 | 175 | 55 | 32 |

PUBLIKATION N°2

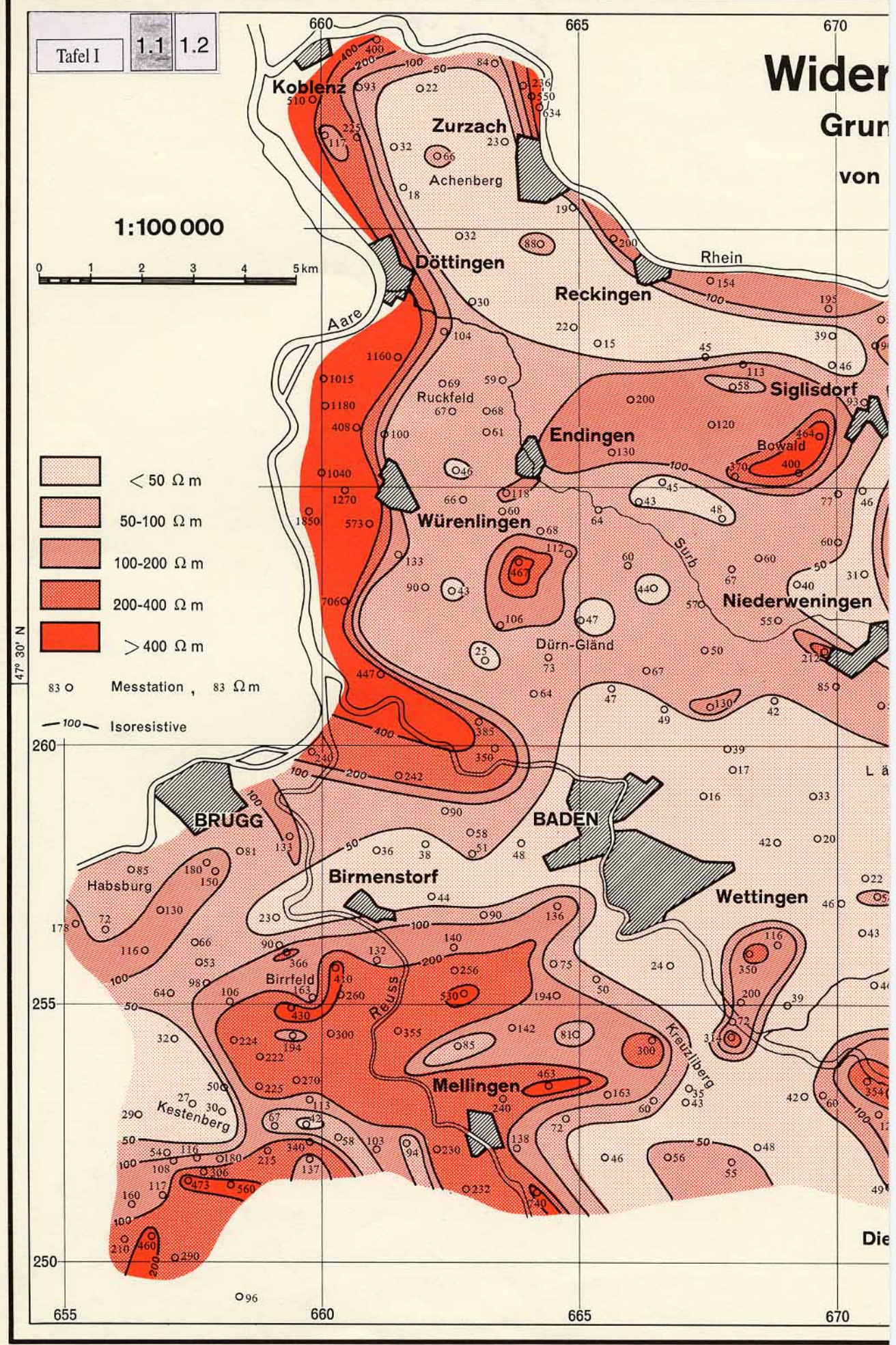
EINE GROSSRÄUMIGE WIDERSTANDSKARTIERUNG NORDWESTLICH VON ZÜRICH UND IHRE GEOLOGISCHE DEUTUNG

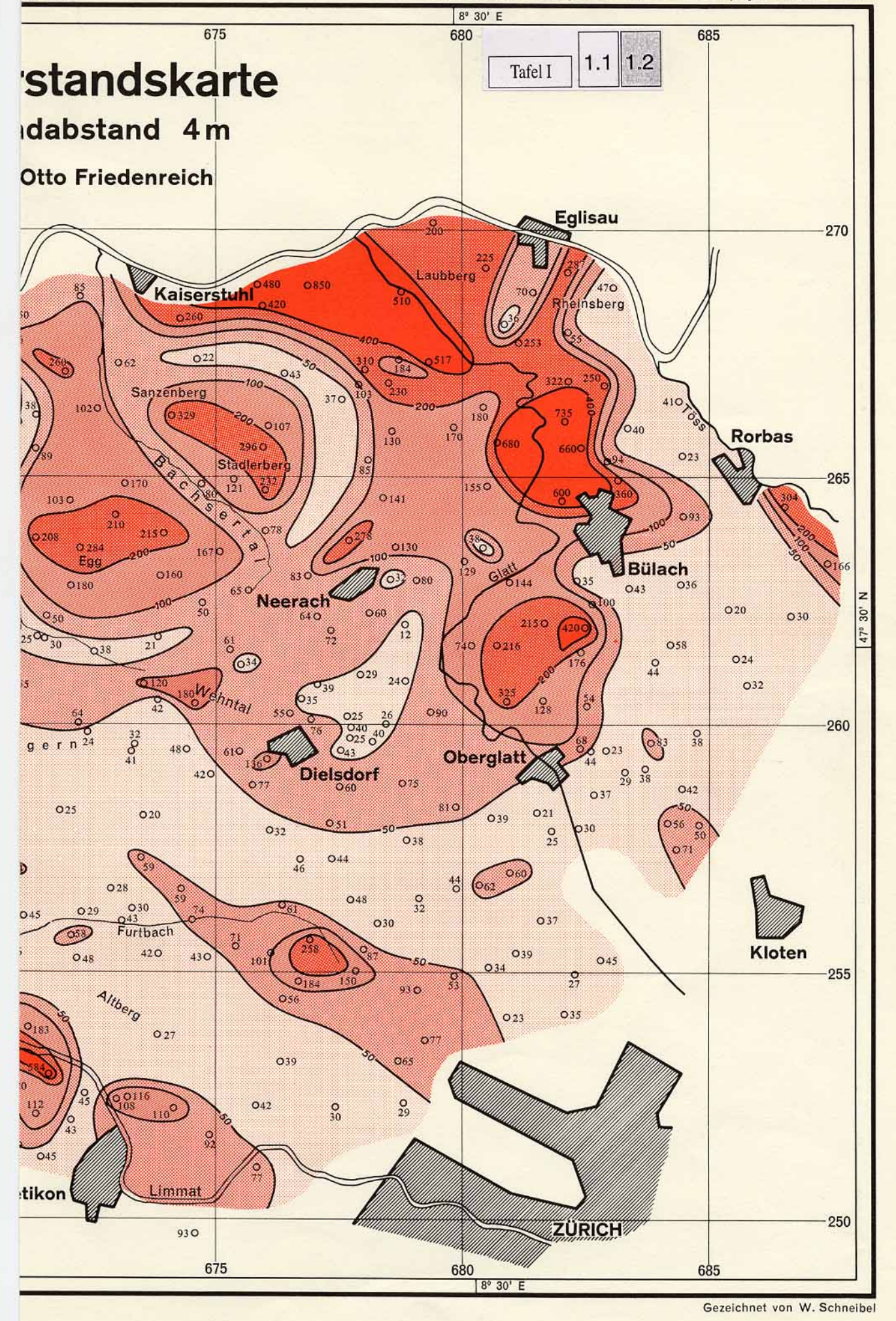
Von Otto Friedenreich

TAFELN

9 TAFELN:

TAFEL II: 2 BLÄTTER
TAFEL III: 2 BLÄTTER
TAFEL IV: 2 BLÄTTER
TAFEL IV: 2 BLÄTTER
TAFEL V: 2 BLÄTTER
TAFEL VII: 2 BLÄTTER
TAFEL VIII: 2 BLÄTTER
TAFEL VIII: 2 BLÄTTER
TAFEL IX: 2 BLÄTTER





70 O

Diet

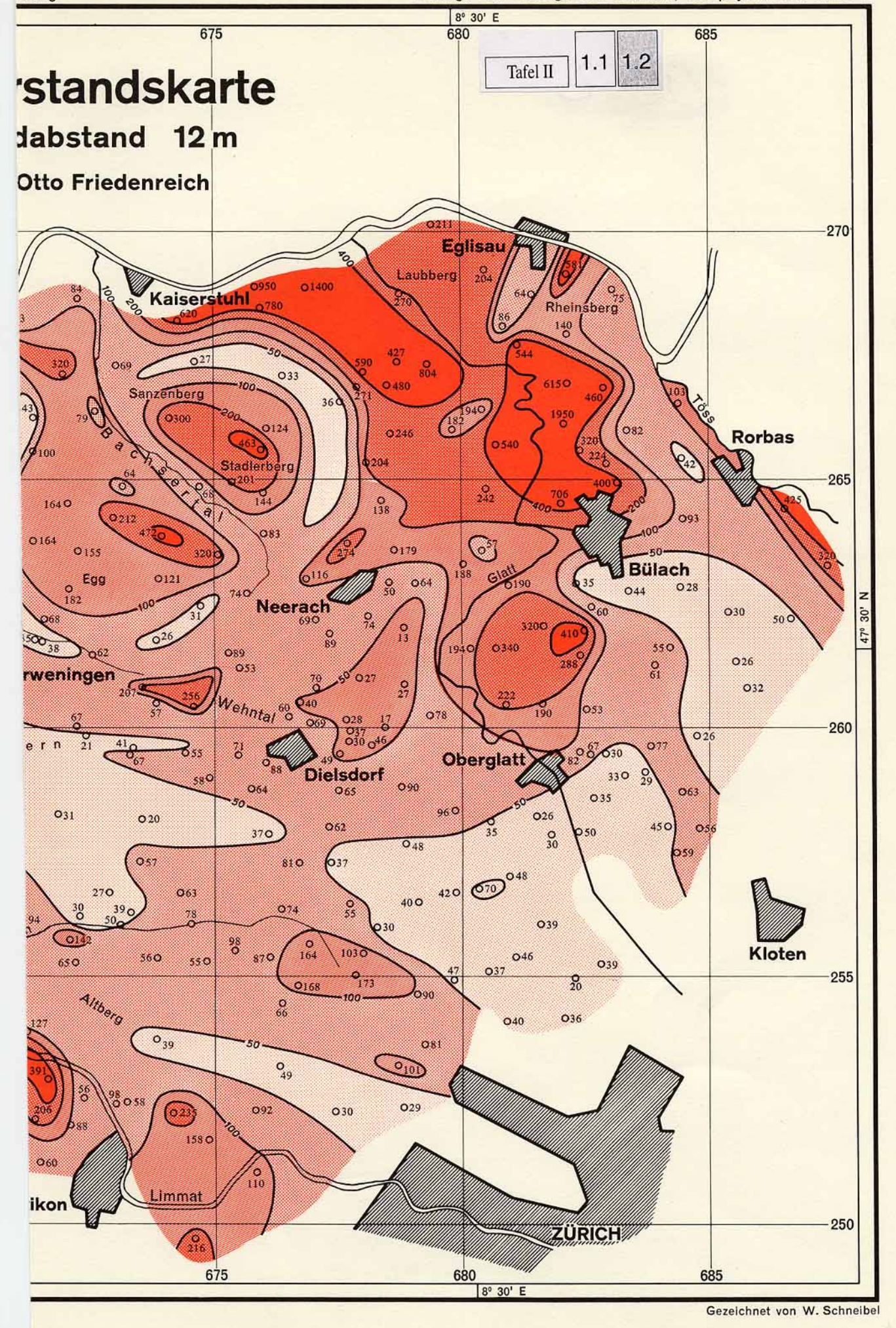
670

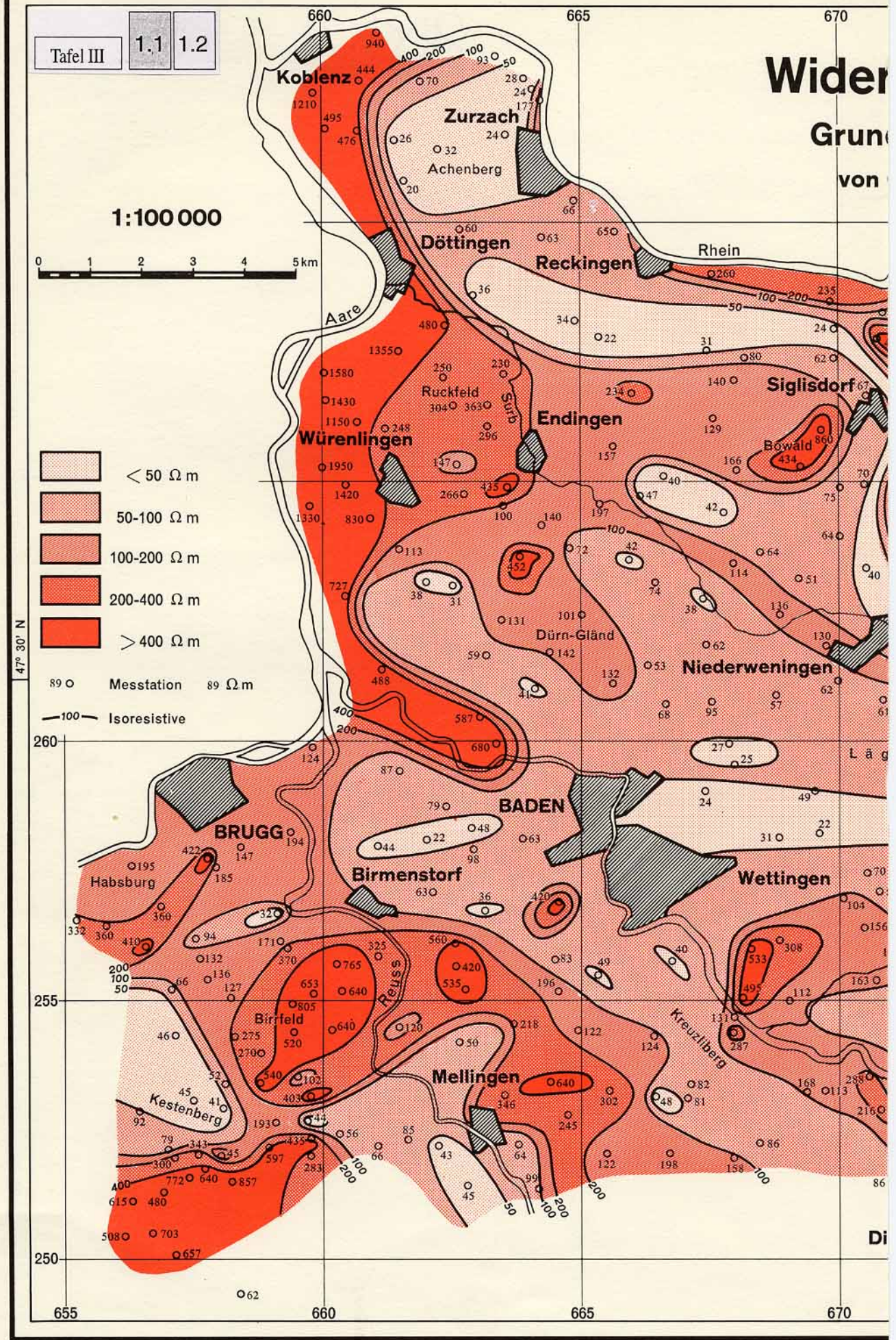
Druck Schweiz. Lichtpausanstalten AG., Zürich

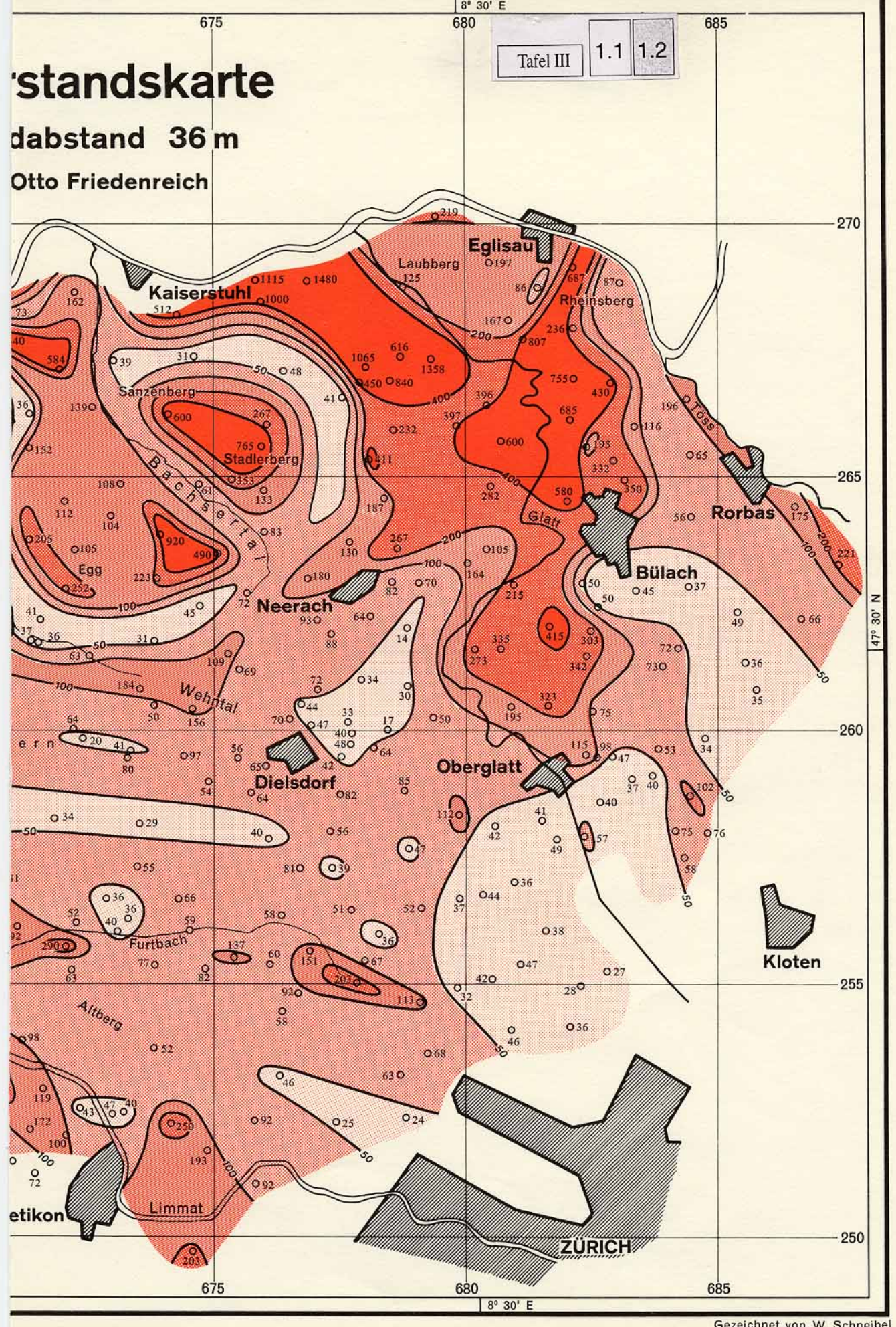
070

660

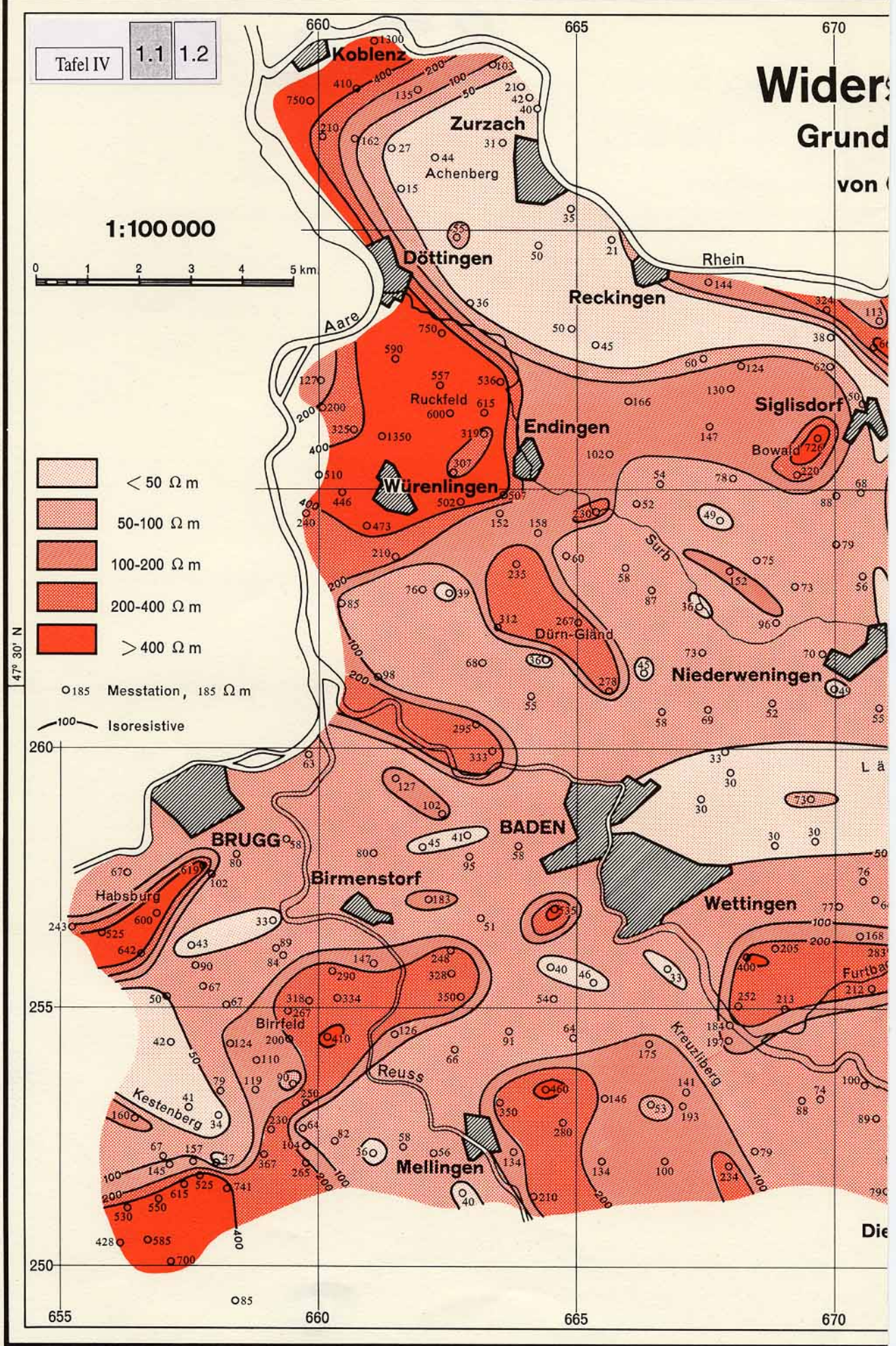
250

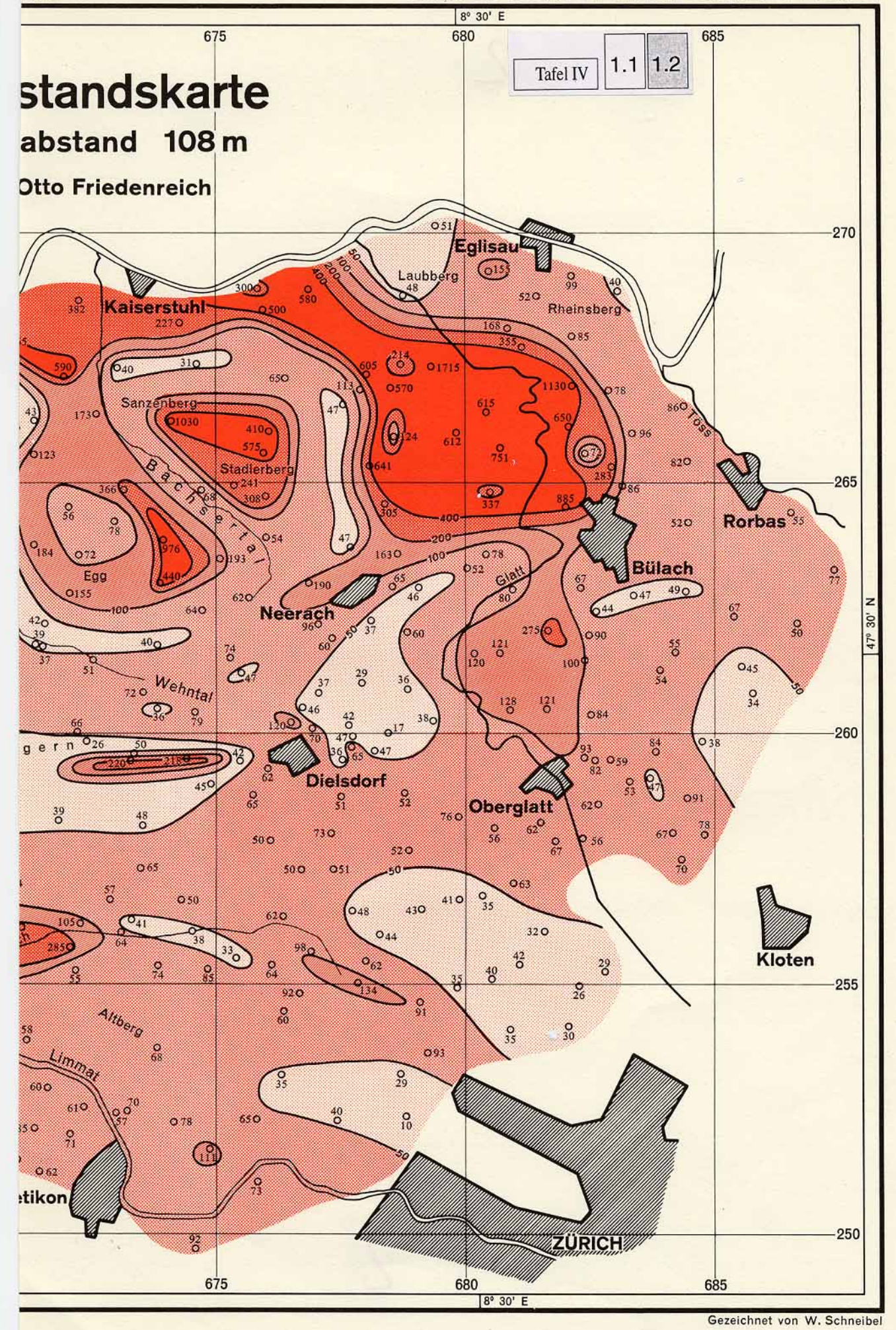


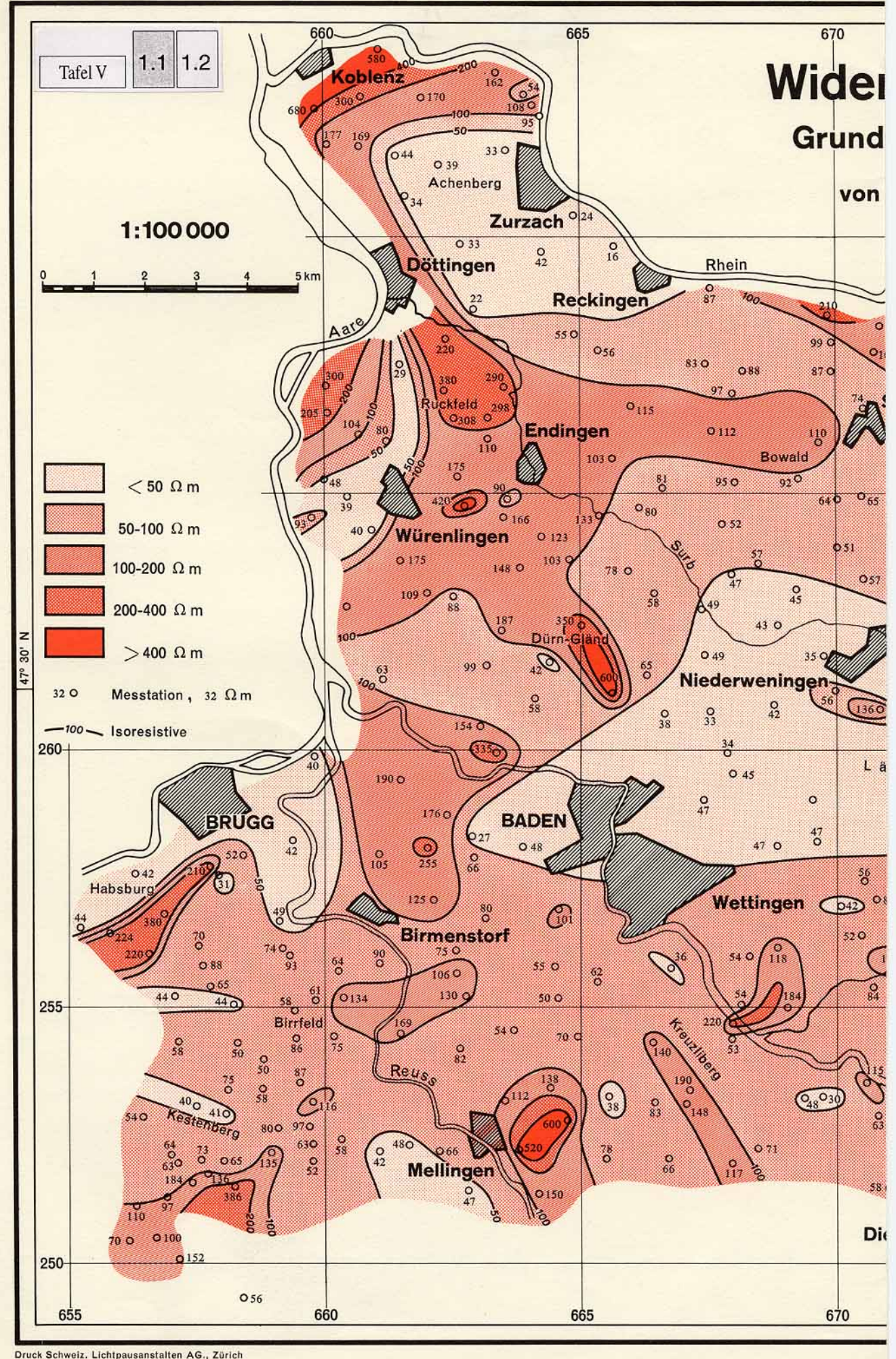




Gezeichnet von W. Schneibel







0 51

675

Limmat

o₅₀ ∍tikon

685

ZÜRICH

8º 30' E

Die

670

250

655

0 0

0

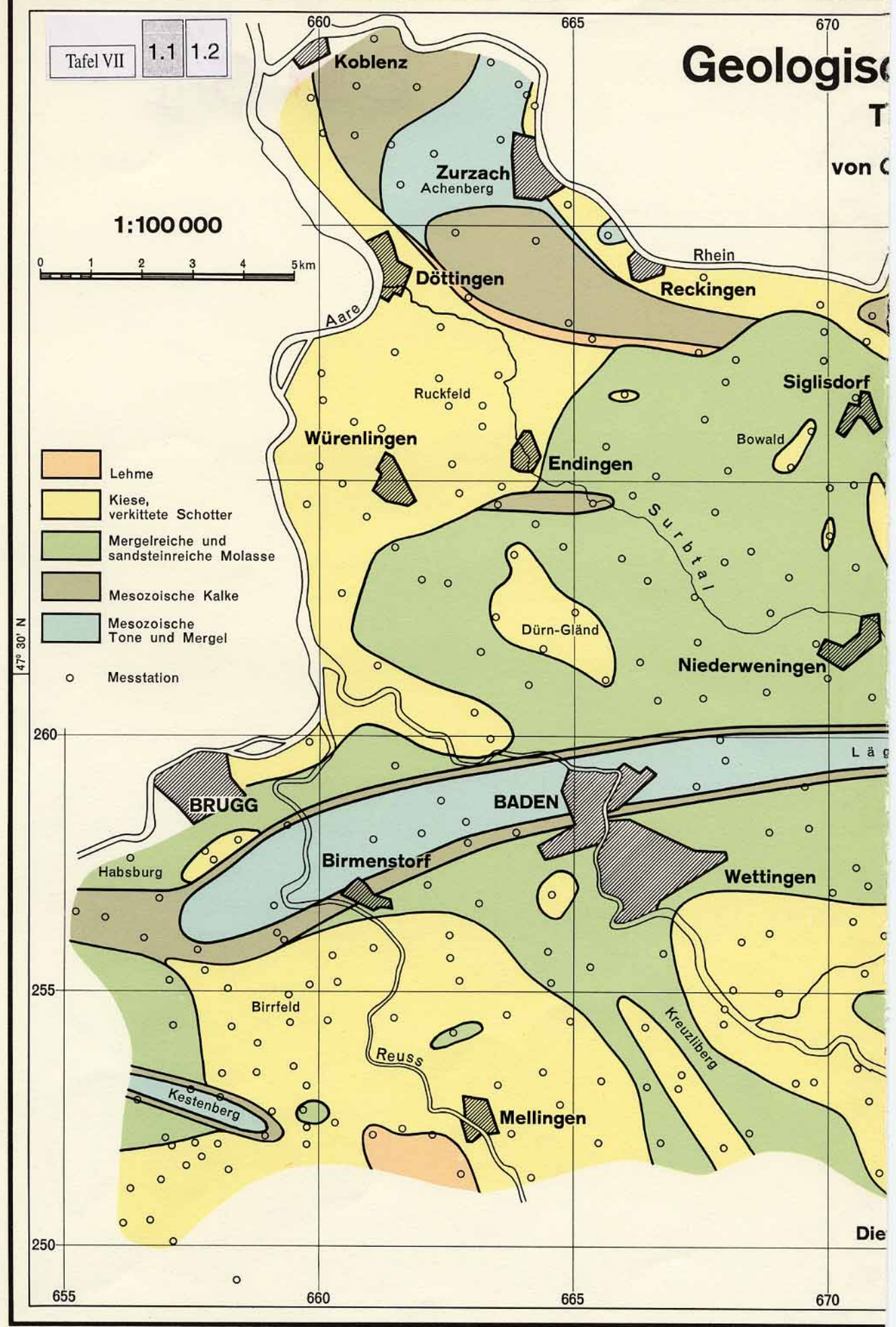
660

680

8º 30' E

675

Gezeichnet von W. Schneibel



Gezeichnet von W. Schneibel

Gezeichnet von W. Schneibel

